

Controlli Automatici - Sintesi

1 - INTRODUZIONE (1)

2 - IL PROBLEMA DEL CONTROLLO

CONTROLLO IN ANELLO APERTO

CONTROLLO IN ANELLO CHIUSO

3 - ANALISI DELLA RISPOSTA (2)

SYS I ORDINE

↳ RISPOSTA AL GRADINO

↳ RISPOSTA ALLA RAMP

SYS II ORDINE

↳ SOTTOSMORZATI

↳ SOVRSMORZATI (3)

↳ ZERI A FASE MINIMA

↳ ZERI A FASE NON MINIMA

GENERALIZZAZIONI

4 - RISPOSTA IN FREQUENZA (4)

SYS I ORDINE (M & F)

SYS II ORDINE (M & F)

SYS I ORDINE (POLARE) (5)

SYS II ORDINE (POLARE)

SYS III ORDINE (POLARE)

DIAGRAMMI POLARI APERTI: Poli $Re = 0$ (6)

DIAG. POLARI: POLI C.C.

DIAG. POLARI APERTI: Poli $B_m \neq 0$

DIAG. POLARI: ZERI

5 - STABILITÀ (3)

PRINCIPIO DELL'ARGOMENTO

CRITERIO DI NYQUIST

PARAGONE ZERI A FASE MINIMA E NON

PARAGONE DI FASE

6 - ROBUSTEZZA (8)

PARAGINE DI GUADAGNO

LUOGO DELLE RADICI

REGOLE DI COSTRUZIONE RL

METODO DI NOUTH-HORWITZ (9)

NOUTH-HORWITZ: TRATTARE GLI "ZERI"

7 - PRECISIONE

TEORIA DELL'ERRORE PER SEGNALI NOTEVOLI (10)

SEGNALE DI TIPO 1: GRADINO

SEGNALE DI TIPO 2: RAMP

SEGNALE DI TIPO 3: PARABOLA

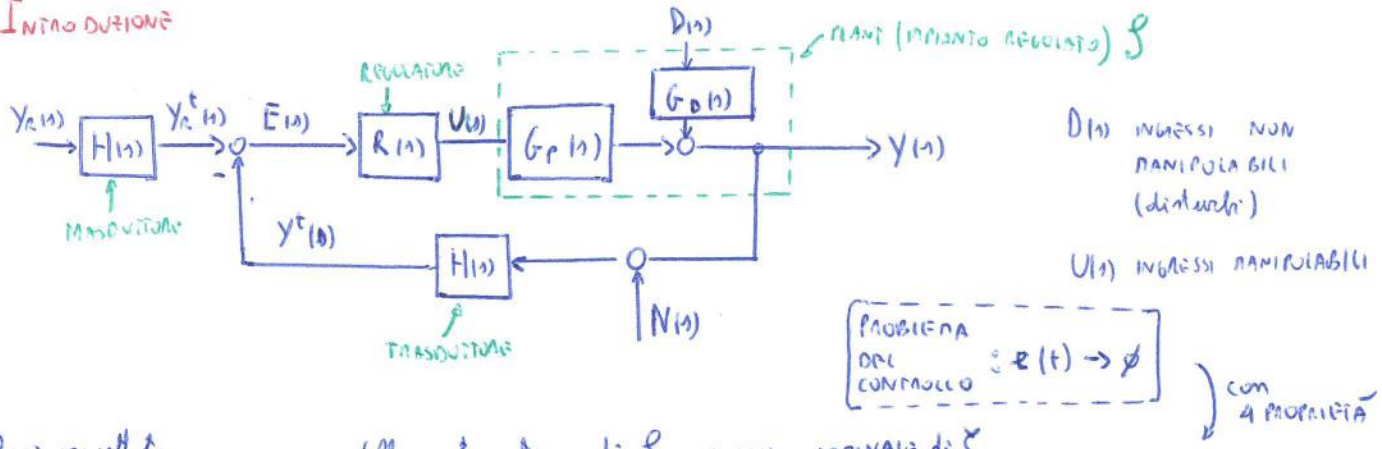
USO DEI COMPENSATORI

8 - REIEZIONE AI DISTURBI (11)

REIEZIONE COMPLETA DI TIPI DI SEGNALE

Controlli Automatici - Sintesi - Davide Lanza

1 INTRODUZIONE



Res) progettata su un modello matematico di $S \rightarrow$ modello NOMINALE di S

4 PROPRIETÀ:

- STABILITÀ $\rightarrow S$ (asintoticamente) stabile \rightarrow (si ottiene con la retroazione se S instabile)
- REIEZIONE DEI DISTURBI \rightarrow onde se ci sono disturbi $e(t) \rightarrow \phi$, S stabile
- PRECISIONE $\rightarrow e(t) \rightarrow \phi$ il più velocemente possibile
- ROBUSTEZZA $\rightarrow e(t) \rightarrow \phi$ onde se c'è una variazione tra valori NOMINALI o REALI

NUMERI COMPLESSI: $s = a + jb = m \cdot e^{j\theta}$ con $m = \sqrt{a^2 + b^2}$ e $\theta = \arctan\left(\frac{b}{a}\right) \rightarrow$

$a > 0, b > 0 \rightarrow \theta$ in I QUADRANTE
$a < 0, b > 0 \rightarrow \theta$ in II " "
$a < 0, b < 0 \rightarrow \theta$ in III " "
$a > 0, b < 0 \rightarrow \theta$ in IV " "

(PRODOTTO: $|m_1| \cdot |m_2|$ e somma delle fasi $\theta_1 + \theta_2$)

FUNZIONI RAZIONALI COMPLESSE: $F(s) = \frac{N(s)}{D(s)} = b_m \cdot \frac{\prod_{i=1}^m (s - r_i)}{\prod_{i=1}^m (s - q_i)}$

(RAPPR. A POLI REALI / POLI IN) (RAPPR. A POLI REALI IN)

$= |b_m| \frac{\prod_{i=1}^m |s - r_i|}{\prod_{i=1}^m |s - q_i|} \cdot e^{j \left[\angle b_m + \sum_{i=1}^m \angle (s - r_i) - \sum_{i=1}^m \angle (s - q_i) \right]}$

($D(s)$ e NUMERO) $\rightarrow \alpha_m = 1$; $\text{deg}[D(s)] = m$, $\text{deg}[N(s)] = m$, GANBO NEGATIVO $p \hat{=} m - m$

(Sistemi reali "approssimativamente" LTI e finemente realizzabili) \rightarrow $\begin{cases} \dot{x}(t) = A x(t) + b u(t) + b_d d(t) = A x + B \begin{bmatrix} u(t) \\ d(t) \end{bmatrix} \\ y(t) = (c x(t) + D_u u(t) + D_d d(t)) \end{cases}$

(Considereremo invariati t.c. $D_u = \phi$) \leftarrow

DIPENDE DALLE CONDIZIONI INIZIALI DELLO STATO
DIPENDE DALL'ENTRATA
DIPENDE DAL DISTURBO

$$\underline{x}(s) = \underbrace{(sI - A)^{-1} \underline{x}(\phi^-)}_{\text{RISPONDA LIBERA DEL SISTEMA}} + \underbrace{(sI - A)^{-1} b_m U(s)}_{\text{F. DI TRASF. DEL SISTEMA } G_P(s)} + \underbrace{(sI - A)^{-1} b_d D(s)}_{\text{F. DI TRASF. DAL DISTURBO}}$$

$$\underline{y}(s) = \underbrace{C (sI - A)^{-1} \underline{x}(\phi^-)}_{\text{RISPONDA LIBERA DEL SISTEMA}} + \underbrace{C (sI - A)^{-1} b_m U(s)}_{\text{F. DI TRASF. DEL SISTEMA } G_P(s)} + \underbrace{[C (sI - A)^{-1} b_d + D_d] D(s)}_{\text{F. DI TRASF. DAL DISTURBO}}$$

$p[G_P(s)] \geq 1$
 \Downarrow
 (SYS FINAMENTE REALIZZABILE)

STABILIZZABILITÀ \leftrightarrow tutti gli eventuali poli NON controllabili da $U(s)$ non $\text{Re} < 0$

RICOSTRUIBILITÀ (detectabili) \leftrightarrow tutti gli eventuali poli NON osservabili da $Y(s)$ non $\text{Re} < 0$

2. IL PROBLEMA DEL CONTROLLO

CONTROLLO IN ANELLO APERTO : $u(t) \rightarrow [G_P(s)] \rightarrow y(t)$
 (considerando la sola risposta forzata)

$$U_{OL}(s) = \frac{1}{G_P(s)} Y_R(s)$$

4 PROBLEMI:

① $\left[\frac{1}{G_P(s)} \text{ ha } p < \phi \right] \rightarrow$ NON FISICAMENTE REALIZZ.

② $\left[Y(s) = \frac{G_P(s) \cdot Y_R(s)}{G_P(s)} \right] \rightarrow$ CANCELLAZIONI poli/zeri a rate $p_c > \phi \rightarrow$ problemi con condizioni iniziali non nulle \rightarrow NON STABILE

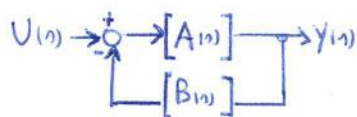
③ $\left[Y_R \rightarrow [R] \rightarrow U \rightarrow [G_P] \rightarrow \oplus \rightarrow Y \right. \\ \left. 0 \rightarrow [G_D] \right] \rightarrow Y(s) = \underbrace{G_P(s) U(s)}_{Y_R(s)} + \underbrace{G_D(s) D(s)}_{Y_D(s)} \rightarrow$ il controller non può agire contro i disturbi \rightarrow non c'è reazione ai disturbi

④ $\left[R_{OL}(s) = \frac{1}{G_P^N(s)} \right] \rightarrow G_P^N(s)$ è NUMINACE, può scartarsi dalla reale $G_P(s) \rightarrow$ cancellazione $\frac{G_P(s)}{G_P^N(s)}$ non perfetta \rightarrow MANCA ROBUSTEZZA

$\left[\begin{array}{l} Y_R \rightarrow [A] \rightarrow [B] \rightarrow Y \Rightarrow Y/Y_R = B/A \\ Y_R \rightarrow \oplus \rightarrow [A] \rightarrow Y \Rightarrow Y/Y_R = \frac{A}{1 \pm AB} \end{array} \right]$ RETRINNO

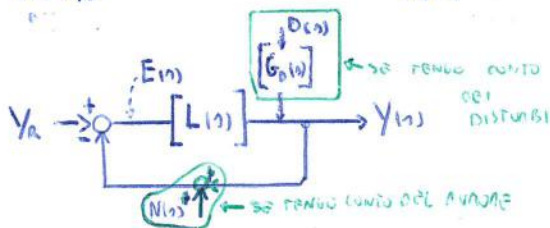
$$T_{OL}(s) = A(s)B(s) = \frac{N_A N_B}{D_A D_B} = \frac{N_A N_B}{P_{OL}(s)}$$

CONTROLLO IN ANELLO CHIUSO



$$T(s) = \frac{A(s)}{1 - A(s)B(s)} = \frac{\overset{\text{"Numeratore di A"}}{N_A D_B}}{D_A D_B + N_A N_B} = \frac{N_A D_B}{P_{CL}(s)}$$

FUNZIONE CARATT. DEL SYS : $F(s) = 1 + A(s)B(s) = \frac{P_{CL}(s)}{T_{OL}(s)}$



Del modello generale \downarrow : $L(s) \triangleq G_P(s)H(s)R(s)$

CANCELLAZIONI
 Se $D_A = (s-p) \bar{D}_A$
 $N_B = (s-p) \bar{N}_B$ \rightarrow (il polo di A in $s=p$ è cancellato dallo zero di B in $s=p$)

$$T(s) = \frac{N_A D_B}{D_A D_B + N_A N_B} \quad F(s) = \frac{P_{CL}}{P_{OL}} = \frac{(s-p) [D_A \bar{D}_B + N_A \bar{N}_B]}{(s-p) [D_A \bar{D}_B]}$$

 [tutti i poli del sys in OL che presentano cancellazioni non sono spostati dalla retroazione]

$$F(s) = 1 + L(s)$$

$$Y(s) = \frac{L(s)}{1+L(s)} Y_R(s) + \frac{1}{1+L(s)} G_D(s) D(s) - \frac{L(s)}{1+L(s)} N(s)$$

[FUNZIONE DI IMPIANTO IN CICLO CHIUSO] $\rightarrow P(s)$

derivare la f di trasf. in CL e quanto bene $Y_R(s)$ è ricevuto in uscita. Ultima ne \rightarrow 1

ottenere i disturbi ne < 1 amplifica se > 1 L'ultima ne $\rightarrow 0$

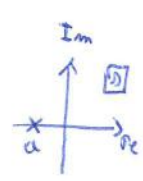
$b \geq$ di nuovo $P(s)$ con "-"
 \downarrow
 non si può avere precisione quando i comandi e il rumore interagiscono

3.4 PROBLEMI DEL CONTROLLO:

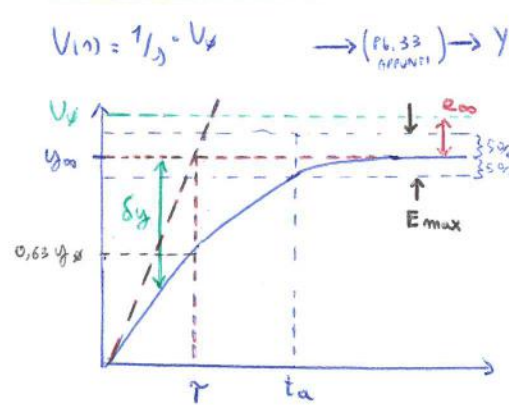
- ① STABILITÀ: sys. in CL stabile \leftrightarrow T_{CL} ha zeri $Re < 0$ (ASINT. STAB.)
 T_{CL} ha zeri $Re \leq 0$ con $Re = 0 \leftrightarrow$ multip. = 1 (SEMPL. STAB.)
- ② PRECISIONE: fronte della risposta prima considerare $D(s)$ e $N(s)$:
 l'errore di risposta del sys dipende da $S(s)$
 ↳ VINCULO STRUTTURALE: $P(s) + S(s) = 1$
 la reazione è omotetica allo studio del segnale $E(s) = \frac{1}{1+L(s)} Y_R(s) = S(s) Y_R(s)$
- ③ ATTENUAZ./REIEZIONE DEI DISTURBI:
 Studia separatamente $D(s)$ e $N(s)$. $P(s)$ e $S(s)$ hanno gli stessi poli
 ↳ VINCULO STRUTTURALE: $P[P(s)] = P[L(s)]$ e $P[S(s)] = \emptyset$
- ④ ROBUSTEZZA: garantire che le prestazioni siano tali anche quando il sys in ciclo aperto è soggetto a perturbazioni (\rightarrow variazioni reali rispetto al modello nominale)
 ↳ VINCULO STRUTTURALE: $\frac{dP}{P} = S(s) \frac{dL}{L} \rightarrow$ (variazione % della f. di trasf. in CL $P(s)$ rispetto alla variaz. % della f. di trasf. in OL $L(s)$)
 più $S(s) \rightarrow \emptyset$ più robustezza ($<$ variaz. %)

3. ANALISI DELLA RISPOSTA

SISTEMI DI I ORDINE: $T(s) = \frac{G_0}{s+a}$ $\rightarrow a > 0 \leftrightarrow$ ASINT. STABILE
 $G_0 =$ guadagno del sys. (\emptyset denominatore)
 [notevole $P(s)$] \rightarrow [Vinculo strutt. $Y_R(s)$]



↳ RISPOSTA AL GRADINO:



$y(t) = \frac{G_0 U_0}{a} [1 - e^{-at}]$
 (RISPOSTA REGIME) (RISPOSTA TRANSITORIA)

[VALORE DI REGIME \rightarrow Th. val. FINALE]: $y_{\infty} = \lim_{t \rightarrow \infty} y(t) = \lim_{s \rightarrow 0} \frac{G_0 U_0}{s(s+a)} \cdot s = \frac{G_0 U_0}{a}$

[ERRORE SCARICO PERCENTUALE]: $\left| \frac{\Delta y}{y_{\infty}} \right| = \left| \frac{y(t) - y_{\infty}}{y_{\infty}} \right| \cdot 100 \approx \Delta y_{\%} = e^{-at}$

[SIANTO]: $\Delta y_{\%} = y(t) - y_{\infty} = (G_0 U_0 / a) \cdot \Delta y_{\%}$

E_{max} = valore convenzionale di $\Delta y_{\%}$

$t_{\Delta} = -\frac{1}{a} \ln [E_{max}]$ = [TEMPO DI ASSERIMENTO]
 (= τ) \downarrow
 t minimo t.c. $\Delta y_{\%} < E_{max} \forall t > t_{\Delta}$

$E_{max} = 5\%$	2%	1%
$t_{\Delta} = 3\tau$	4τ	5τ

$y'(t) = \left[\begin{matrix} \text{Th. val. FINALE} \\ \text{SU DERIVATA} \\ \text{IN L'INIZIO} \end{matrix} \right] \rightarrow \lim_{t \rightarrow 0} y'(t) = a$

$a = \lim_{s \rightarrow \infty} s \cdot \frac{G_0 U_0}{s+a} = G_0 U_0$

↳ $\tau = 1/a$ (quando il t.c. $y'(t) = y_{\infty}$)

[CONSTANTE DI TEMPO]

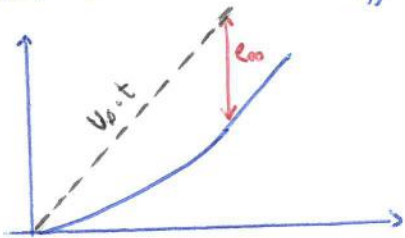
[E_{∞} scostamento rispetto al segnale di controllo]
 ↳ nel PROBLEMA DEL CONTROLLO vorremmo $E_{\infty} \approx 0$
 ↳ vorremmo $b_p = a$

più $a \uparrow$ più $t_{\Delta} \downarrow \Rightarrow$ transitorio più breve

$\frac{y(\tau)}{y(\infty)} \approx 63\%$

↳ ASPETTO ALLA LAMPA:

$u(t) = U_0 t \cdot \mathbb{1}(t) \rightarrow V(s) = U_0 / s^2$



$y_{\infty}^* = \lim_{s \rightarrow 0} s^2 Y(s) = G_0 U_0$

$\rightarrow (P_1, P_2) \rightarrow Y(s) = \frac{G_0 U_0}{s^2} = \frac{G_0 U_0}{a s} + \frac{G_0 U_0}{a(s+a)}$

$y(t) = G_0 U_0 \left[t - \frac{1}{a} + \frac{1}{a} e^{-at} \right] \mathbb{1}(t)$

$e(t) = y - y_{\infty} = (G_0 U_0 - U_0) t - \frac{G_0 U_0}{a} + \frac{G_0 U_0}{a} e^{-at}$

se $G_0 \neq 1$ l'errore non annulla la $t \rightarrow \infty$ errore infinito!

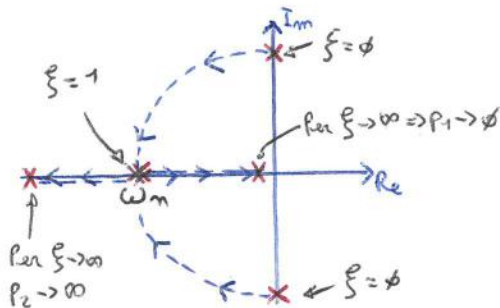
$(\exists G_0 = 1) \rightarrow e_{\infty} = -\frac{U_0}{a}$

SISTEMI DI II ORDINE:

$T(s) = G_0 \frac{\omega_m^2}{s^2 + 2\xi \omega_m s + \omega_m^2}$

$\omega_m > \emptyset$ PULSAR. NATURALE
 $\xi \geq \emptyset$ COEFF. DI SMORTAMENTO

$p_{1,2} = \omega_m \left[\xi \pm \sqrt{\xi^2 - 1} \right]$



$(\text{re } \xi > 1 \Rightarrow p_1, p_2 \in \mathbb{R} \Rightarrow p_1 \cdot p_2 = \omega_m^2)$

- $\xi < 1 \rightarrow$ SYS. SOTTOSMORTATO
- $\xi = 1 \rightarrow$ SYS. CRIT. SMORT.
- $\xi > 1 \rightarrow$ SYS. SOVRASMORTATI
- $\xi < 0 \rightarrow$ POLI INSTABILI

↳ SOTTOSMORTATI, R. AL GRADINO:

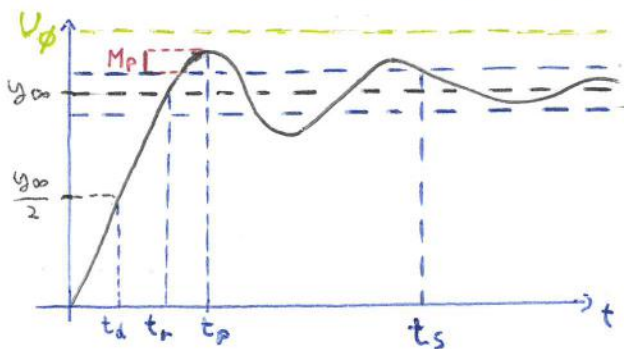
$U(s) = U_0 / s$

$Y_{\text{STEP}}(s) = G_0 U_0 \left[\frac{1}{s} + B_1 \frac{1}{s - p_1} + B_2 \frac{1}{s - p_2} \right]$

$y_{\text{STEP}}(t) = G_0 U_0 \left[1 + B_1 e^{p_1 t} + B_2 e^{p_2 t} \right] \mathbb{1}(t)$

$B_1 = \frac{1}{2\xi\sqrt{1-\xi^2}} e^{i\varphi}$
 $B_2 = -\frac{1}{2\xi\sqrt{1-\xi^2}} e^{-i\varphi}$

E_{max}	5%	2%	1%
t_s	3T	4T	5T



$p_1 = -\xi \omega_m + j \omega_m \sqrt{1-\xi^2}$
 $p_2 = -\xi \omega_m - j \omega_m \sqrt{1-\xi^2}$

$y_{\infty} = \lim_{s \rightarrow 0} Y(s) = G_0 U_0$
 $t_p \downarrow \text{ per } \xi \downarrow$
 $t_r \uparrow$
 $t_d \text{ quando } y(t) \text{ raggiunge } \frac{y_{\infty}}{2}$
 $t_s \text{ argmax } [y_{\text{STEP}}(t)] = t_p \text{ (PEAK TIME)} = \frac{\pi}{\omega_m \sqrt{1-\xi^2}}$

$Y_{\text{STEP}}(s) = \left[1 - \frac{1}{\sqrt{1-\xi^2}} e^{-\xi \omega_m t} \cdot \sin(\omega_m t + \arccos(\xi)) \right] \mathbb{1}(t)$

$T \approx \frac{1}{\xi \omega_m}$ (ξ determina MP)

velocemente \rightarrow è quanto la risposta si orienta al valore di regime

gli zeri riducono il grado relativo della T(s) \rightarrow rendono "meno rigida" la risposta nei primi istanti

$t_r = \frac{\pi - \theta}{\omega_m \sqrt{1-\xi^2}}$ (min. piccolo t t.c. $y = y_{\infty}$) $t_r \downarrow$ per $\omega_m \uparrow$ ($\Rightarrow \xi \downarrow$)

$\theta = \arctg\left(\frac{\sqrt{1-\xi^2}}{\xi}\right)$

MAX OVERSHOOT $MP = e^{-\pi / t_p \theta}$; $MP \downarrow$ per $\xi \downarrow$
 $\emptyset\% \leq MP\% \leq 100\%$

$\xi = \emptyset$ NO SMORTAMENTO \rightarrow \rightarrow SYS. SEMPL. STABILI

Di solito è meglio $0,3 < \xi < 0,5 \rightarrow$ più piccolo riduce la robustezza del sistema
 mi tengo lontano da $\xi=1$

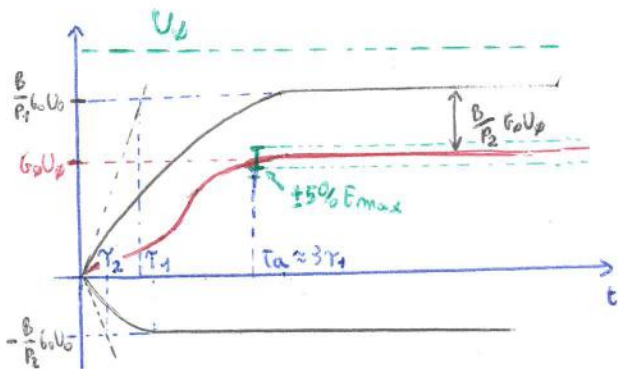
↳ SOVRASMOZZATI, A. AL GRADO:

$U(s) = U_0/s$

$Y_{stet}(s) = G_0 U_0 \left[\frac{1}{s} + B_1 \frac{1}{(s-p_1)} + B_2 \frac{1}{(s-p_2)} \right]$
 $\xi > 1$

$\begin{cases} B_1 = -\frac{1}{p_1} \frac{p_1 p_2}{p_2 - p_1} \\ B_2 = \frac{1}{p_2} \frac{p_1 p_2}{p_2 - p_1} \end{cases}$

$y_{stet}(t) = G_0 U_0 \left[1 - B \left(\frac{1}{p_1} e^{p_1 t} - \frac{1}{p_2} e^{p_2 t} \right) \right] \mathbb{1}(t)$



E_{max}	5%	2%	1%
	↓	↓	↓
τ_a	3T	4T	5T

A parità di ω_n , non smorzato più lento di un sottosmorzato.

$\rightarrow (e^{p_2 t}$ più veloce di $e^{p_1 t} \rightarrow$ radici $p_2 < p_1$)

il transitorio è dato da $3T_1$ (se vuoi $E_{max} = 5\%$)

↳ si considera quello dell'exp. più lento

$5T_2 \leq T_1$ infatti è una buona condizione per approssimare $\tau_a \approx 3T_1$ (se $E_{max} = 5\%$)
 ↳ SISTEMA DOMINANTE DEL I ORDINE
 (bisogna vedere contributo da due) rispetto al I ordine

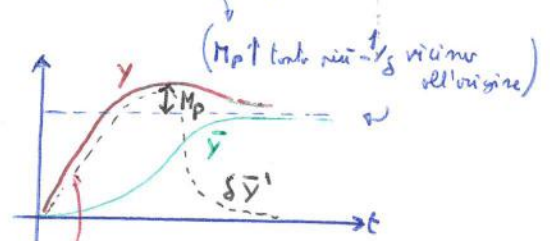
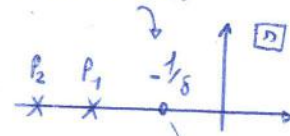
↳ EFFETTO DEGLI ZERI NEI SOVRASMOZZATI:

↳ ZERI A FASE MINIMA ($R_z < 0$)

$T(s) = \frac{(p_1 p_2)(1+s\delta)}{(s-p_1)(s-p_2)} = \frac{s p_1 p_2 \delta + p_1 p_2}{(s-p_1)(s-p_2)} = \frac{s p_1 p_2 \delta + p_1 p_2}{(s-p_1)(s-p_2)}$

univoco f. di trasf. commone
 produce 5 volte la derivata della risp. al gradimento senza zeri δ

ZERO A FASE MINIMA (SEMIPIANO SX)



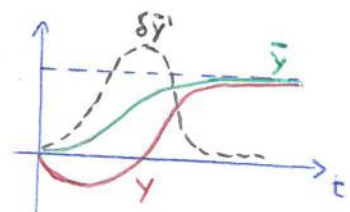
Lo zero rende la risposta più pronta, a meno di un M_p

Anche se ha un zero di non-elongazione M_p , il sys. sovrasmorzato non presenta oscillazioni nella coda.

↳ più lo zero è vicino ad un polo, più ne attenua la dinamica! Se $z = -1/s \rightarrow p_1$
 ↳ p_2 polo dominante (CANCELLAZIONE POLO p_1)

↳ ZERI A FASE NON MINIMA ($R_z > 0$)

$T(s) = \frac{p_1 p_2 (1-s\delta)}{(s-p_1)(s-p_2)}$ $\Rightarrow y_{stet}(t) = \bar{y}_{stet} - \delta \dot{\bar{y}}_{stet}$
 (con derivata sottratta si notano)



↳ risposta più lenta con non-elongazione! \rightarrow meglio non avere zeri $R_z > 0$

↳ GENERALIZZAZIONI:

$Y(s) = Y_L(s) + Y_R(s)$

$Y_R(s) = T(s)U(s) = \frac{N(s)U(s)}{D-D_u} = \frac{N(s)}{\prod_i^m (\sigma - p_i)} + \frac{N_u(s)}{\prod_i^q (\sigma - q_i)}$

[PARTI SEPARATE] \downarrow

$\sum_i \frac{A_i}{(\sigma - p_i)^{m_i}} + \sum_i \frac{B_i}{(\sigma - q_i)^{l_i}}$

$Y_R(s)$ $Y_L(s)$

- $Y_R(s)$ = risposta transitoria
- $Y_L(s)$ = risposta a regime
- m_i = molteplicità di p_i
- p_i = polo del sys
- l_i = molteplicità di q_i
- q_i = polo del segnale

POSSO FARLO
 \updownarrow
 $q_i \neq p_j, \forall i, j$
 (POLI SEGNALI \neq POLI SYS)

Se questa ipotesi non è vera, nella dinamica non sono distinguere regime e TRANSITORIO

$y_F(t) = \sum_i A_i x_i(t) e^{p_i t} + \sum_i B_i s_i(t) e^{q_i t}$

\downarrow
 TERMINE POLINOMIALE CHE DERIVA DALLA ALCERAZIONE
 TRANSITORIO \uparrow

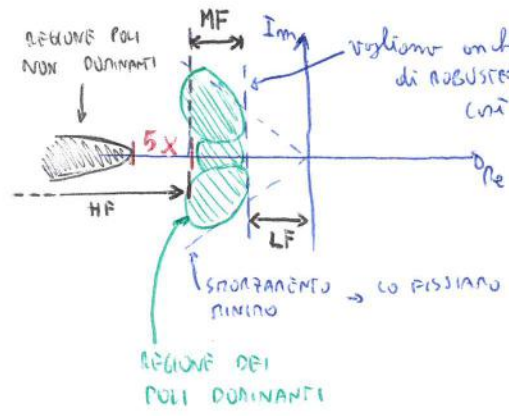
\downarrow
 FUNZIONI PRESENTI IN CUI È COSTITUITO $U(s)$
 REGIME \uparrow

SEMPRE STABILITÀ non garantisce la limitatezza della risposta?

come nel caso della RISONANZA, ai regimi limite può corrispondere risposta divergente!

STABILITÀ BIBO è una condizione essenziale per noi!

↳ NOTA PER LA PROGETTAZIONE:



vogliamo avere un limite di ROBUSTEZZA nei σ reali, così da non addestrare $Re \geq 0$

- REGIONI DI:
- LF: Low freq
 - MF: Medium f.
 - HF: High f.

Per ottenere un transitorio BREVE i poli devono essere separati di almeno 5x un fattore 5x

4. RISPOSTA IN FREQUENZA

$u(t) \rightarrow [T(s)] \rightarrow y(t)$ invece $u(t) = \sin(\omega_0 t) \xleftrightarrow{L} U(s) = \frac{\omega_0}{s^2 + \omega_0^2}$

$y(t) = y_A(t) + y_R(t)$ $y_R(t) = |T(j\omega_0)| \sin(\omega_0 t + \angle T(j\omega_0))$
non transiente > φ AMPLIFICAZ. < φ ATTENUAZ. > φ ANTICIPA < φ RITARDO

$$T(s) = \frac{\sum_{i=1}^m b_i s^i}{\sum_{i=1}^{m-1} a_i s^i + d_m} = \frac{b_m \prod_{i=1}^{m_1} (s+z_i) \prod_{j=1}^{m_2} (s-z_j')}{\prod_{i=1}^{n_1} (s+p_i) \prod_{j=1}^{n_2} (s-p_j')} = K_B \cdot \frac{\prod_{i=1}^{m_1} (1+s/z_i) \cdot \prod_{j=1}^{m_2} (1-s/z_j')}{\prod_{i=1}^{n_1} (1+s/p_i) \cdot \prod_{j=1}^{n_2} (1-s/p_j')}$$

$(z_i \triangleq \sigma_i)$
 $(p_i \triangleq \gamma_i)$

$|T(j\omega)| = |K| \frac{\prod_{i=1}^{m_1} |1+j\omega z_i| \cdot \prod_{j=1}^{m_2} |1-j\omega z_j'|}{\prod_{i=1}^{n_1} |1+j\omega p_i| \cdot \prod_{j=1}^{n_2} |1-j\omega p_j'|}$; $\angle T(j\omega) = K + \sum_{i=1}^{m_1} \angle(1+j\omega z_i)$

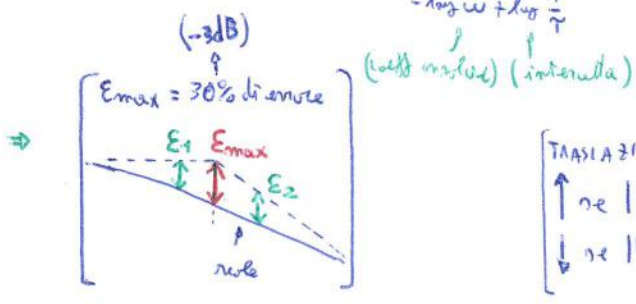
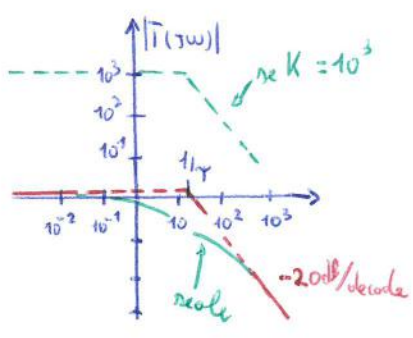
$(20 \log_{10} |T(j\omega)| = |T(j\omega)|_{dB})$

$|T(j\omega)|_{dB} = |K|_{dB} + \sum_{i=1}^{m_1} |1+j\omega z_i|_{dB} + \sum_{j=1}^{m_2} |1-j\omega z_j'|_{dB} - \sum_{i=1}^{n_1} |1+j\omega p_i|_{dB} - \sum_{j=1}^{n_2} |1-j\omega p_j'|_{dB}$

↳ DIAGRAMMA DI MODULO: SYS I ORDINE

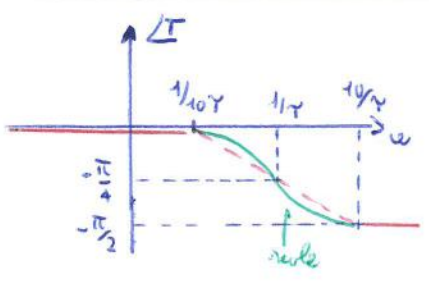
$T(s) = \frac{1}{1+sT}$

$\log |T(j\omega)| = -\log |1+j\omega T| = \begin{cases} \log(1) = 0 & \omega T \ll 1 \rightarrow \omega \gg 1/T \\ -\log |\omega T| = -\log \omega + \log \frac{1}{T} & \omega T \gg 1 \rightarrow \omega \ll 1/T \end{cases}$



↳ DIAGRAMMA DI FASE: SYS I ORDINE

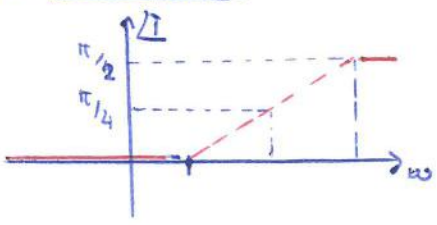
$\angle T(j\omega) = -\arctan\left(\frac{\omega T}{1}\right) = \begin{cases} 0 & \omega \ll 1/T \\ -\pi/2 & \omega \gg 1/T \\ -\pi/4 & \omega = 1/T \end{cases}$



E_1 per $\frac{1}{10T} = 10\%$
 E_2 per $10/T = 10\%$
 dove \approx TRASCURABILE (over del 10%)
 $\left[\frac{1}{T} \rightarrow \text{po} \text{ Re} < 0 \right]$

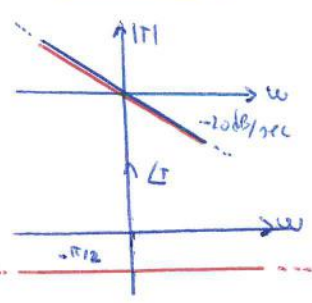
TRASLAZIONE:
 ↑ ne $|K_B| > 1$
 ↓ ne $|K_B| < 1$
 ↳ ottenere la fase di π ne $|K_B| < 0$

nei PAI INSTABILI:



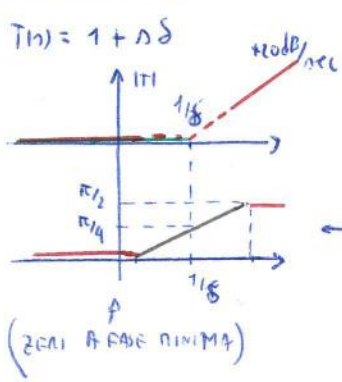
$\left[\frac{1}{T} \rightarrow \text{po} \text{ Re} > 0 \right] \rightarrow$ ANTICIPA di Fase
 ↳ così rincarissime i poli instabili

• per poli in $\sigma < \phi$:



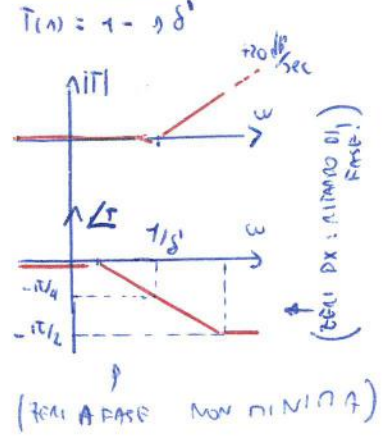
(poluti non armonizzati)
 $T(s) = 1/s$

• per zeri in $\sigma < \phi$:



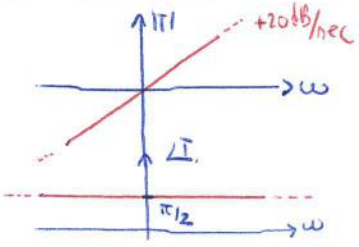
(zeri a fase minima)

• per zeri in $\sigma > \phi$:



(zeri a fase non minima)

• per zeri in $\sigma = 0$:

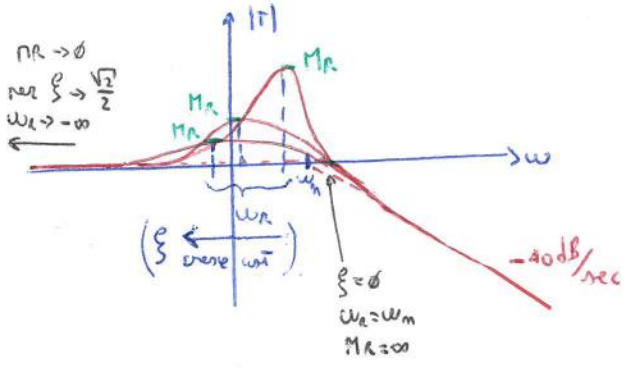


↳ DIAMANDA DI MODULO: SYS II ORDINE:

$$T(s) = \frac{\omega_m^2}{s^2 + 2\zeta\omega_m s + \omega_m^2} = \frac{1}{\frac{s^2}{\omega_m^2} + 2\zeta\frac{s}{\omega_m} + 1}$$

($\zeta < 1$)^o (POLI NON DIVISIBILI IN $(s+p_1)(s+p_2)$)!

$$\log |T(j\omega)| = -\log \left| \left(1 - \frac{\omega^2}{\omega_m^2} \right) + j 2\zeta \frac{\omega}{\omega_m} \right| \approx \begin{cases} \phi \approx \log(1) & , \omega \ll \omega_m \\ -2 \log \left(\frac{\omega}{\omega_m} \right) = -2 \log(\omega) + 2 \log(\omega_m) & , \omega \gg \omega_m \end{cases}$$



$\omega_R = \omega_m \sqrt{1 - 2\zeta^2} \leftrightarrow \left(0 \leq \zeta \leq \frac{\sqrt{2}}{2} \right)$
 ↳ PULSAZIONE DI PICCO (MOD. DI RISONANZA)
 [ANDAMENTO MONOTONO DECRESCENTE] $\leftrightarrow \left(\frac{\sqrt{2}}{2} < \zeta < 1 \right)$

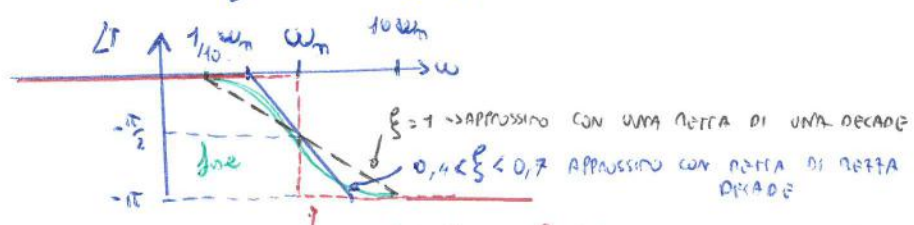
$$\left(M_R = \frac{1}{2\zeta\sqrt{1-\zeta^2}} \right) \rightarrow M_R \uparrow \text{ con } \zeta \rightarrow \phi$$

[alternativa] $\rightarrow M_R |_{dB} = -20 \left[\log 2\zeta \right] - 10 \left[\log (1-\zeta^2) \right]$
 (di solito non lo si vuole altro)
 $\zeta = 0,3$ dà un picco a 3dB
 ↳ SOLTA SOLITAMENTE ACCETTABILE

↳ DIAMANDA DI FASE: SYS II ORDINE:

$$\angle T(j\omega) = \arctg \left[\frac{-2\zeta\omega/\omega_m}{1 - \omega^2/\omega_m^2} \right] = \begin{cases} \phi & \omega \ll \omega_m \\ -\pi/2 & \omega = \omega_m \\ -\pi & \omega \gg \omega_m \end{cases}$$

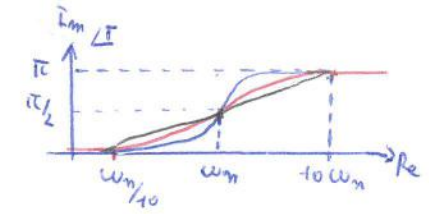
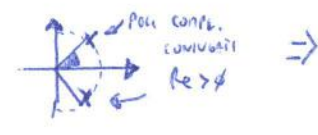
[ABBASSO LE FASI DI PIU' SE $\omega/\omega_n < \phi$]^o



fase a gradino ($\zeta = 0$) \rightarrow per $\zeta < 0,3$ APPROSSIMO A GRADINO

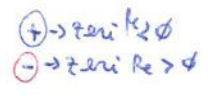
o per POLI $Re > 0$ (INSTABILI):

$$\bar{T}(s) = \frac{\omega_m^2}{s^2 - 2\xi\omega_m s + \omega_m^2}$$

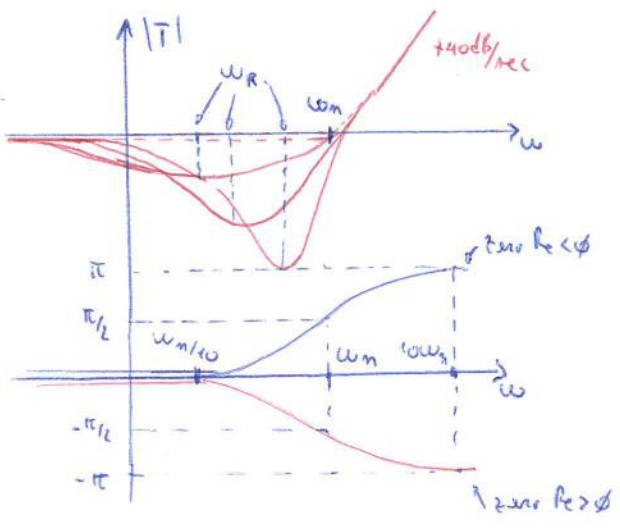


o per ZERI complessi coniugati:

$$\bar{T}(s) = \frac{s^2 + 2\xi\omega_m s + \omega_m^2}{\omega_m^2}$$



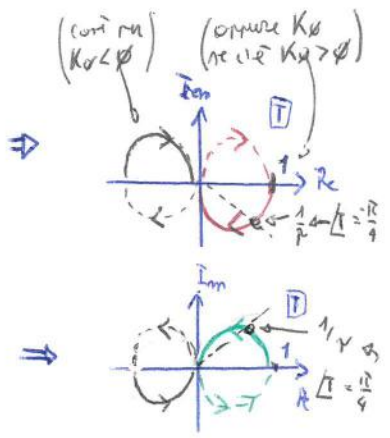
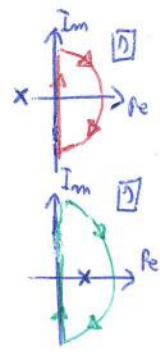
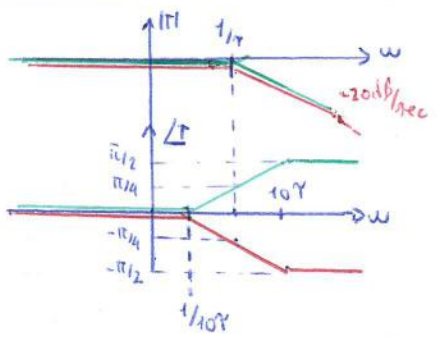
$$\bar{T}(s) = \pm \omega_m \left[\frac{+ \frac{\omega}{\omega_m}}{1 - \frac{\omega^2}{\omega_m^2}} \right]$$



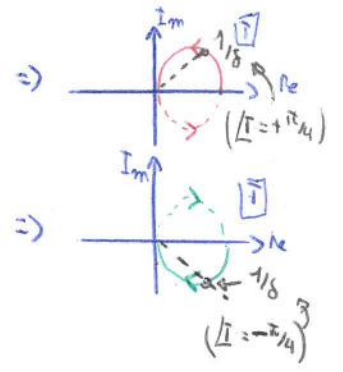
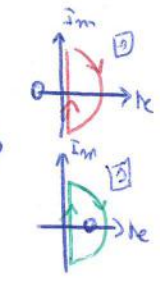
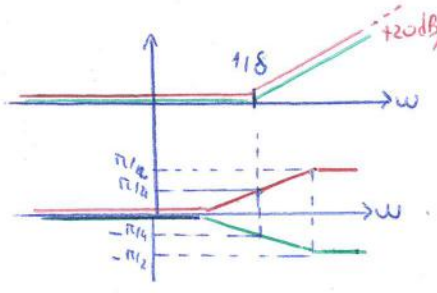
IL DIAGRAMMA PER \omega > \omega_m OVENO IL CONTINUO NON DAMPATO PARTIZIA A \omega > \omega_m / DIMINUISCE A \omega > \omega_m

DIAGRAMMA POLARE: SYS I ORDINE

$$\bar{T}(s) = \frac{1}{1 + sT}$$



$$\bar{T}(s) = \frac{1 + sT}{1}$$

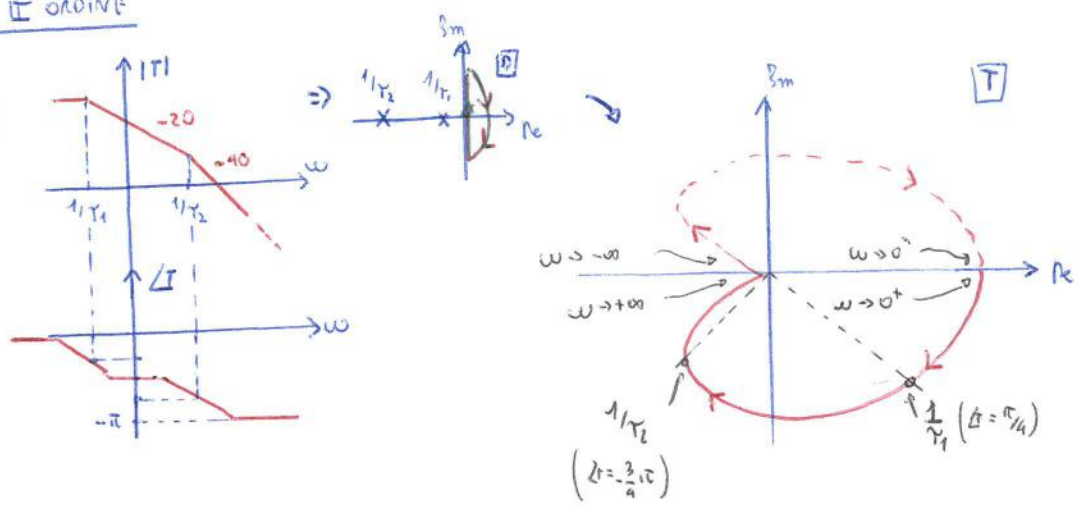


↳ DIAGRAMMA POLARE: SYS II ORDINE

$$T(s) = K_0 \frac{1}{(1+sT_1)(1+sT_2)}$$

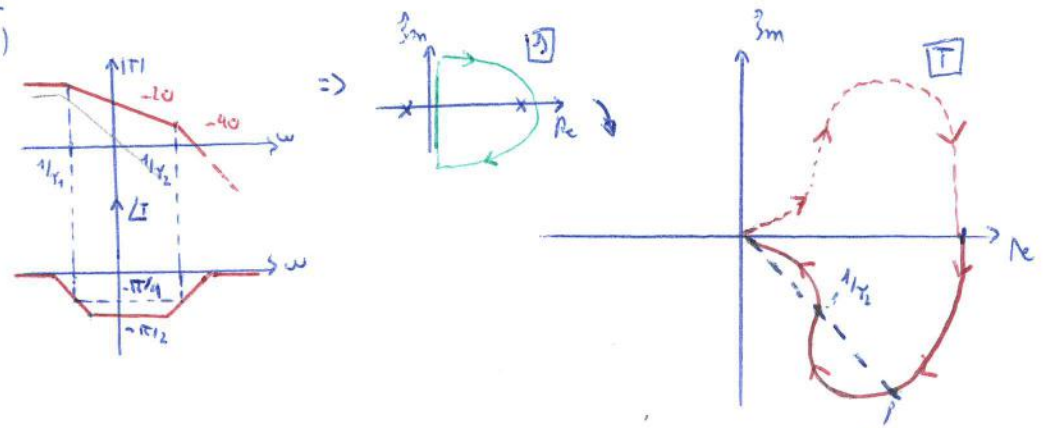
per $K_0 > 0$

($T_1 \gg T_2$)
↳ $1/T_1$ DOMINANTE



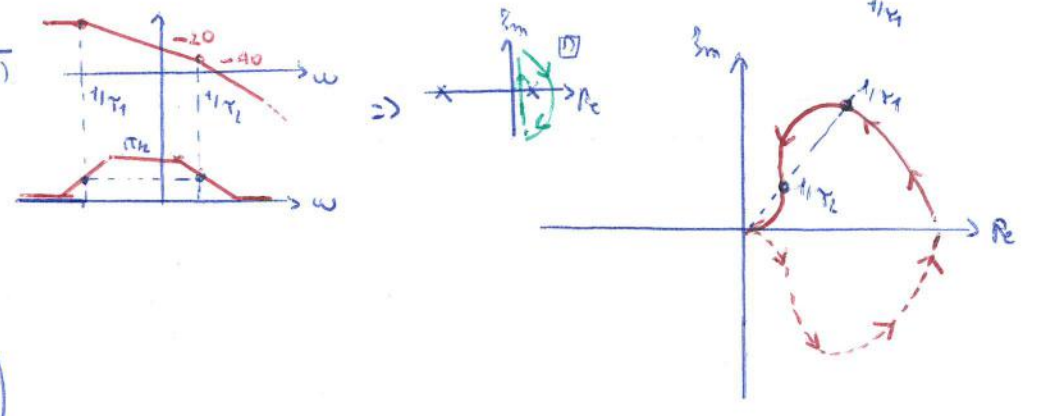
$$T(s) = K_0 \frac{1}{(1+sT_1)(1-sT_2)}$$

($\frac{1}{T_2} \text{ Re} > 0$)
POLO NON DOMINANTE



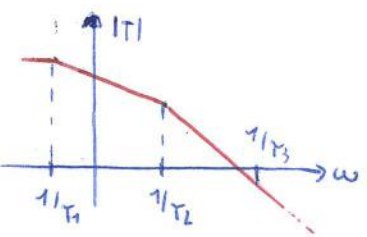
$$T(s) = K_0 \frac{1}{(1-sT_1)(1+sT_2)}$$

($\frac{1}{T_1} \text{ Re} > 0$)
POLO DOMINANTE!

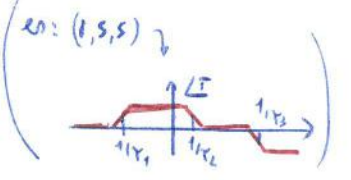


(un'entrata Re > 0
è il minimo ma sottile)

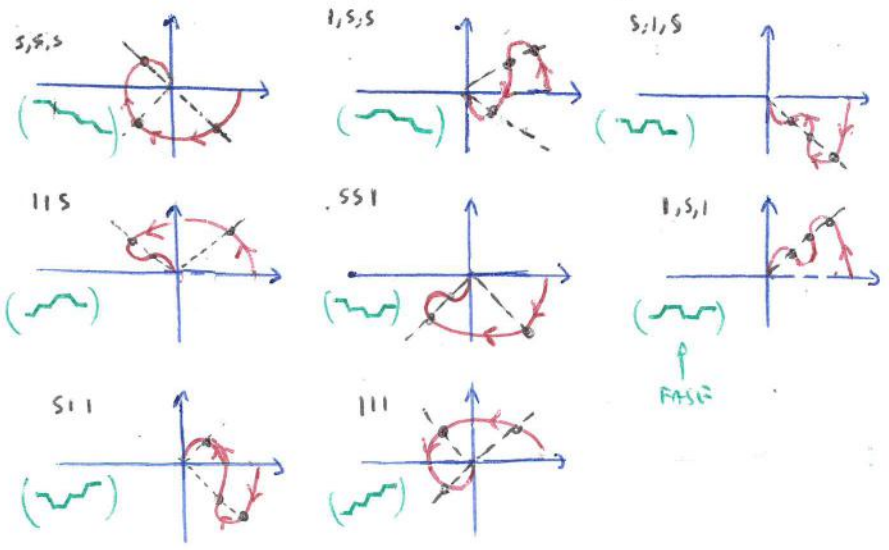
↳ DIAGRAMMA POLARE: SYS III ORDINE



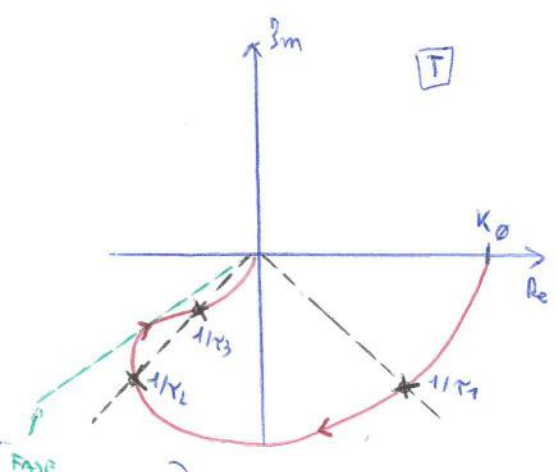
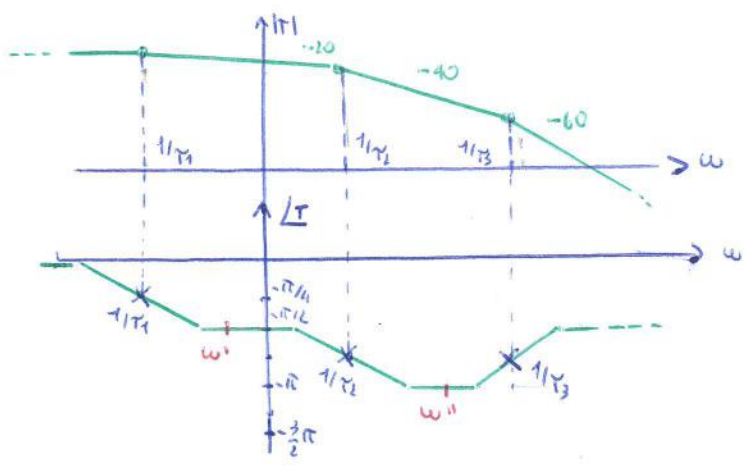
FASE:
ogni $\text{Re} > 0$ è \swarrow di $\pi/2$
ogni $\text{Re} < 0$ è \searrow di $\pi/2$




(SUPPOSTO $T_1 > T_2 > T_3$)
(S = STABILE (Re < 0))
(I = INSTABILE (Re > 0))
($\frac{1}{T_1}, \frac{1}{T_2}, \frac{1}{T_3}$) (SUPPOSTO $K_0 > 0$)



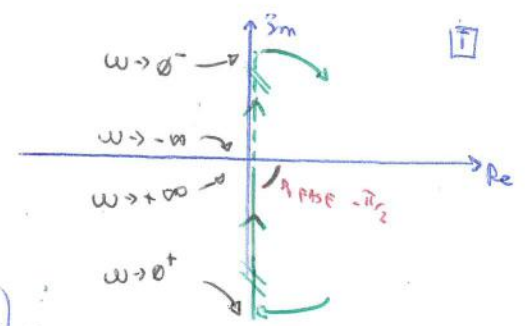
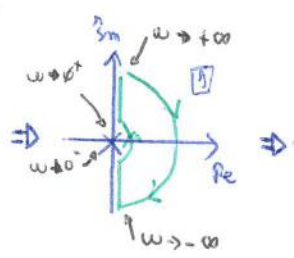
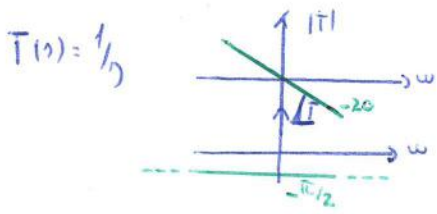
$E: T(s) = K_0 \frac{1}{(1+sT_1)(1+sT_2)(1+sT_3)}$
 (ζ, δ, δ)



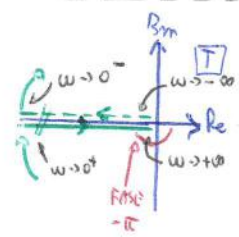
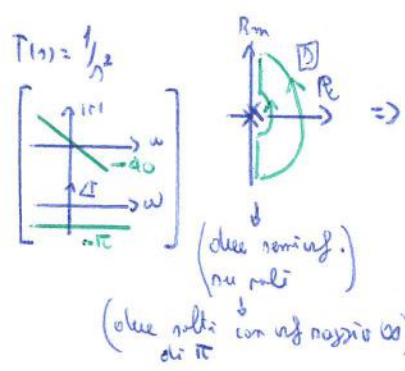
$\omega''', \omega', \omega'$ non esistono
 un! sono punto di fase minima!
 DOVUTO ALL'APPROX

 ω'' un solo minimo! e magari non a quello stesso valore

FASE MINIMA!
 se ha per $\angle T(j\omega''')$
 di max $\pm \pi$ se per ω'' la FASE ARRIVA A $-\pi$, ovvero il suo valore APPROX.

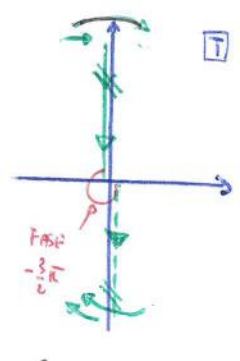
↳ DIAGRAMMI POLARI "ALCANT": poli Re = 0



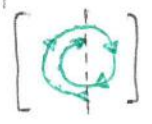
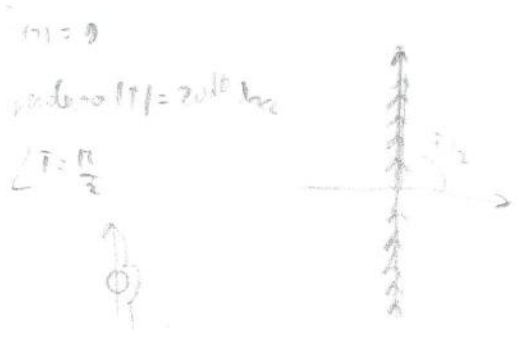
[polo su una Im \rightarrow SALTO DI FASE \rightarrow su Nyquist è un salto di π di RAGGIO ∞]



$T(s) = 1/s^3$
 pendenza $|T| = -60 \text{ dB/dec}$
 $\angle T = -\frac{3}{2}\pi$

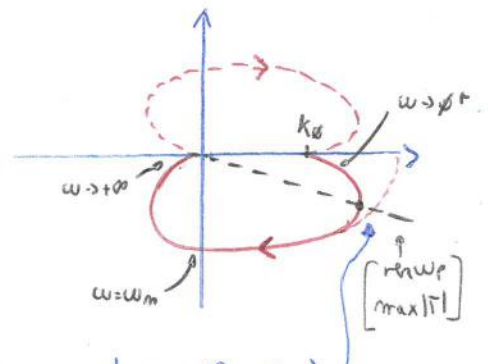
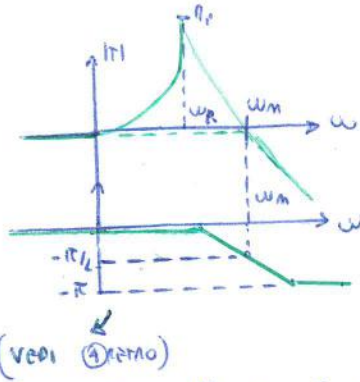
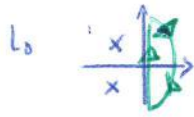


[3 POLI] \rightarrow (SALTO DI 3π)



↳ DIVERGENTI (COMPI): POLI CONGIUGATI COMPLESSI

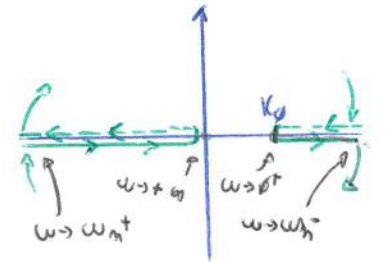
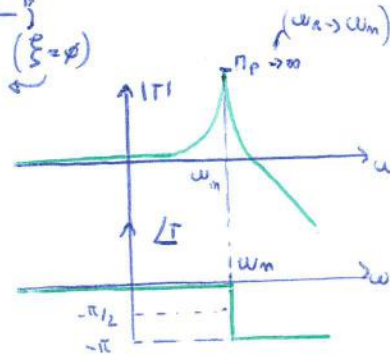
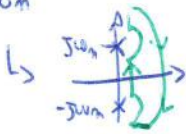
$T(s) = K_0 \frac{\omega_m}{s^2 + 2\xi\omega_m s + \omega_m^2}$
 (SISTEMI II ORDINE CON POLI RE < 0)
 (SOPRANNO $0 < \xi < 1$)



↳ Se: poli fono reali e distanti ($\xi > 1$) si avrebbe $\omega_p = \phi \rightarrow$ Sys II ordine nro in (5) nro

↳ DIVERGENTI POLARI "APERTI": POLI C.G. SU ASSE Im:

$T(s) = K_0 \frac{\omega_m}{s^2 + \omega_m^2}$

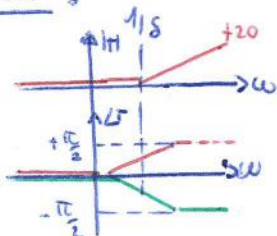
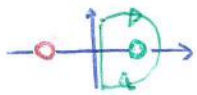


UN PICCO DI RISONANZA
 ω_p CHE $\omega_p \rightarrow \omega_m$
 ↳ $\omega_p \rightarrow \infty \rightarrow$ CAUSA UNA
 CADUTA ISTANTANEA DI
 FASE DI $-\pi$ IN ω_m

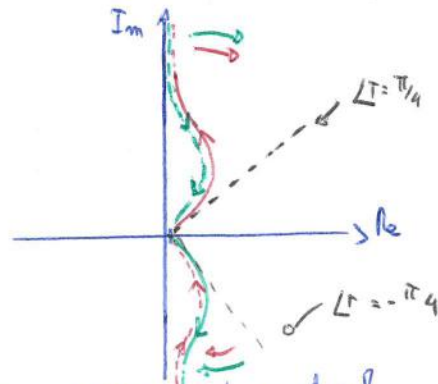
(oltre di due di π)
 in ω_m

↳ DIVERGENTE POLARE: ZCNI

$T(s) = + \frac{1}{s} \delta$



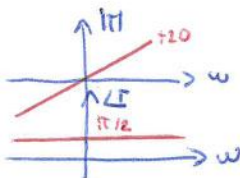
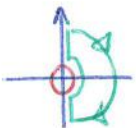
=>



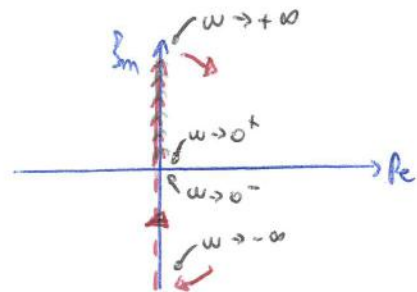
↳ per $\omega = \phi \rightarrow \angle T = \phi$ e $|T| = \phi$
 ↳ per $\omega \rightarrow \infty \rightarrow \angle T \rightarrow +\frac{\pi}{2}$ e $|T| \rightarrow \infty$
 FASE ASINTOTICA!

↳ per $\angle T = +\frac{\pi}{4} \Rightarrow |T|$ inizia ad aumentare!
 ($\omega = 1/\delta$)

$T(s) = \delta$

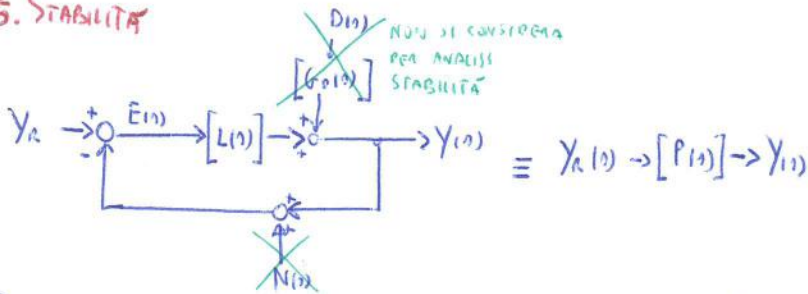


=>



↳ per $\omega > \phi \Rightarrow \angle T = \pi/2$
 per $\omega \rightarrow \phi \Rightarrow |T| \rightarrow \phi$
 per $\omega \rightarrow \infty \Rightarrow |T| \rightarrow \infty$

5. STABILITÀ

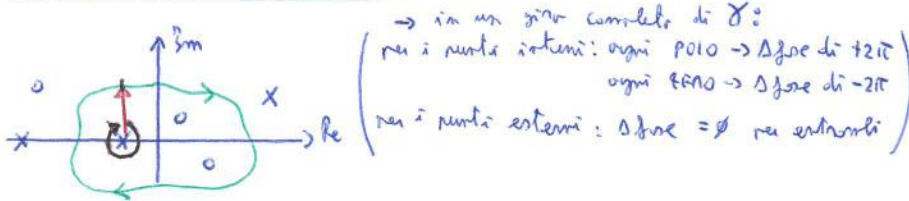


$$P(s) = \frac{L(s)}{F(s)} = \frac{L(s)}{1+L(s)}$$

$$F(s) = 1 + \frac{N_L}{D_L} = \frac{D_L + N_L}{D_L} = \frac{P_{CL}}{f_{OL}}$$

$(\text{radici } P_{CL} \rightarrow \text{"poli" di } P_{OL}) \Rightarrow \text{POLI in CL sono ZERI in OL}$
 $(\text{radici } P_{OL} \rightarrow \text{"poli" } P_{CL}) \Rightarrow \text{ZERI in CL sono POLI in OL}$

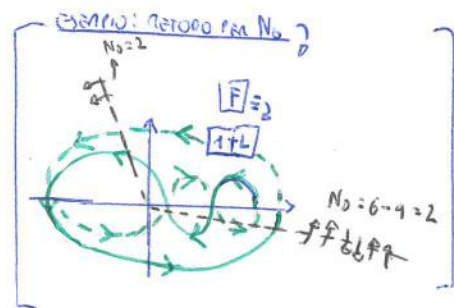
↳ PRINCIPIO DELL'ARGOMENTO (o FASE):



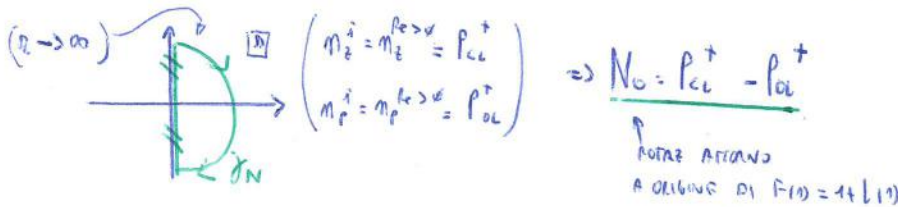
$$N_0 = m_z^i - m_p^i$$

(# ANTI X ZER0 ATTORNO A ORIGINE)
 (# ZERI INTERNI)
 (# POLI INTERNI)

$$N_A = -N_0$$



(Per $F(s) = 1+L(s) = \frac{f_{CL}}{f_{OL}} \rightarrow X \rightarrow \text{POLI IN OL (RADICI DI } P_{OL}, \text{ POLI DI } F(s))$
 $O \rightarrow \text{ZERI IN OL (RADICI DI } P_{CL}, \text{ ZERI DI } F(s))$



$(L \triangleq L_0 \cdot K_0 \rightarrow L_0 = \frac{L}{K_0}) \rightarrow \left[\begin{array}{l} \text{NOTAX DI } L_0 \\ \text{ATTORNO A} \end{array} \right] \equiv \left[\begin{array}{l} \text{NOTAX. ATTORNO A} \\ \text{"-1" DI } L(s) \end{array} \right]$

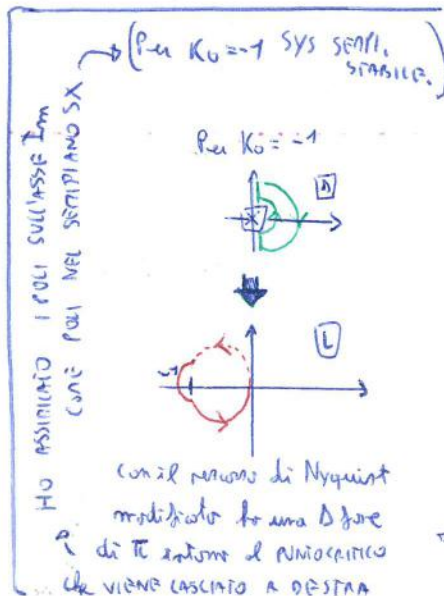
Se L rimane il punto critico -1 (di L_0) \rightarrow (PUNTO CRITICO) \rightarrow (PUNTO CRITICO) \rightarrow (HO SEMPLICE STABILITÀ)

$L(s) = \frac{K_0}{1-sT} \rightarrow F(s) = \frac{1-sT+K_0}{1-sT}$
 $\text{POLI IN OL} = (1+K) \cdot -sT = 0 \rightarrow s = \frac{1+K}{T}$
 (K SPOSTA IL POLI OL $1/T$ LUNGO RE)

(SUPPONIAMO $K_0 < 0$)
 $|K_0| < 1 \rightarrow -1 < K_0 < 0 \rightarrow N_0 = 0 \text{ } P_{OL}^+ = 1$
 $\hookrightarrow P_{CL}^+ = 0$ ASINT. STAB.
 $|K_0| > 1 \rightarrow K_0 < -1 \rightarrow N_0 = -1 \text{ } P_{OL}^+ = 1$
 $\hookrightarrow P_{CL}^+ = 0$ ASINT. STAB.
 $|K_0| = 1 \rightarrow K_0 = -1$?

[CRITERIO DI NYQUIST:]

- $P_{CL}^+ = 0$ e \nexists poli su Im \rightarrow asint. stabilità
- $P_{CL}^+ = 0$ e \nexists poli su Im \rightarrow sempl. stabilità ??
- $P_{CL}^+ > 0$ \rightarrow instabilità



(EFFETTO
ZERI FASE
PIU' O
E MOP

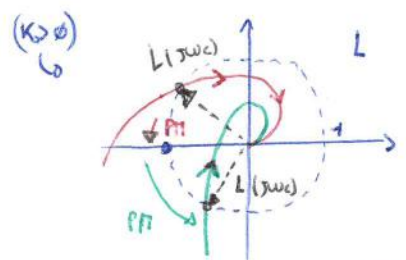
(ESEMPIO
CON
REGOLATORE)

↳ CRITERIO DI NYQUIST SEMPLIFICATO: MARGINE DI FASE

$$H_f: \begin{cases} P_{ol} = \emptyset \\ |L(j\omega)| \text{ monotona decrescente} \\ \exists \omega_c \text{ t.c. } |L(j\omega_c)| = 1 \end{cases} \Rightarrow MF \triangleq \begin{cases} \angle L(j\omega_c) + \pi, & K_o > \emptyset \\ \angle L(j\omega_c), & K_o < \emptyset \end{cases} \Rightarrow \begin{cases} MF > 0 \rightarrow \text{[STAB. ASINTOTICA]} \\ MF = 0 \rightarrow \text{[SEMPL. STABILE]} \\ MF < 0 \rightarrow \text{[INSTABILE]} \end{cases}$$

↑
VALUTAZIONE DI TABELO

nei diagrammi di Nyquist:

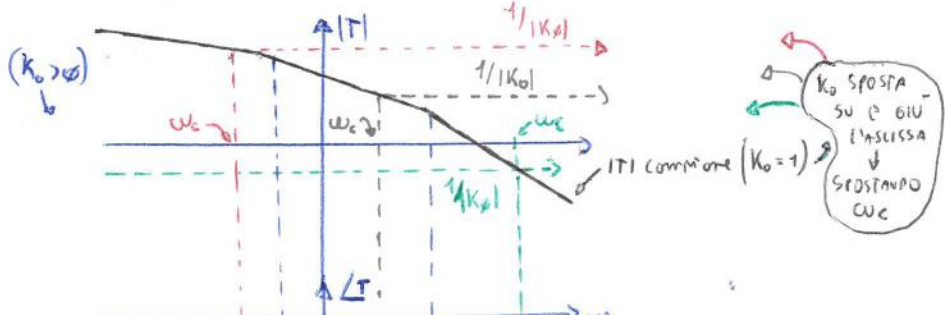


$PM > 0 \rightarrow \text{sys ASINT. STABILE}$
 $PM < 0 \rightarrow \text{sys INSTABILE}$

(NO NOTAZ
ATTENZIONE
A -1)

Per $K_o < \emptyset \Rightarrow -\pi$ ALLE
FASI
ATTENZIONE NEL DIAGRAMMA DI
BODE!

nei diagrammi di Bode:



Per $\frac{1}{|K_o|} \rightarrow \text{ASINT. STABILE}$
↓
MA A PICCOLE ΔK_o
ci sono grandi Δ
di ω_c
↓
NON È BENE PER
LA ROBUSTEZZA

Per $\frac{1}{|K_o|} \rightarrow \text{SEMPL. STABILE}$
IL DIAGRAMMA POLARE
PASSERÀ PER IL
PUNTO CRITICO

Per $\frac{1}{|K_o|} \rightarrow \text{INSTABILE}$

$\left. \begin{cases} \text{NON ASINT. STAB. per } \frac{1}{|K_o|} > \frac{1}{|K_o|} \\ \text{E NON INSTABILE per } \frac{1}{|K_o|} < \frac{1}{|K_o|} \end{cases} \right\}$ nella realtà il punto
critico è un polo, non
c'è un "range" di $\frac{1}{|K_o|}$

↳ LUOGO DELLE RADICI

$\frac{P_{CL}}{P_{OL}} = 1 + L(s) \rightarrow L(s) = K \cdot \frac{\prod_{i=1}^m (s - z_i)}{\prod_{j=1}^m (s - p_j)} \stackrel{\Delta}{=} K \cdot T(s) \rightarrow \left(P_{CL} = \emptyset \leftrightarrow 1 + K T(s) = \emptyset \right) \rightarrow$ POLI IN CIELO (ZERI IN OL)

SPOSTO I POLI CON K

$1 + K T(s) = \emptyset \rightarrow [T(s) = -1/K]$ CONDIZ. AFFINCHÉ SIA POLO CL

$|K| = \frac{\prod_{j=1}^m (s - p_j)}{\prod_{i=1}^m (s - z_i)}$
 $\sum_{j=1}^m \angle (s - p_j) - \sum_{i=1}^m \angle (s - z_i) = \begin{cases} (2h+1)\pi & ; K > \emptyset \\ 2\pi h & ; K < \emptyset \end{cases}$

EQ. COSTRUTTIVE RL e CAL
 (K > 0) (K < 0)

(La forma) NOTA: RL dipende solo dalle POSIZIONI RELATIVE dei poli e zeri insieme tra loro onde lui di conseguenza

↳ REGOLE DI COSTRUZIONE RL:

- 1) m radici, dove m è l'ordine del SYS
- 2) |K| → ∅ POLI CL → POLI OL
- 3) |K| → ∞ POLI CL → ∞ ZERI IN OL (m radici) (m-m radici) → RADII ASINTOTICI

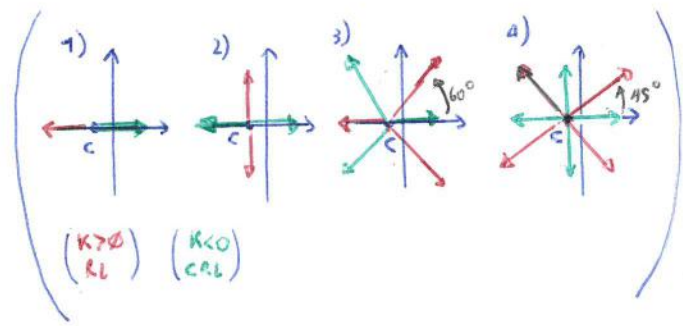
4) DIREZIONI ASINTOTICHE:

$\theta_h = \begin{cases} (2h+1)\pi / (m-m) & ; (K > 0) \\ 2h\pi / (m-m) & ; (K < 0) \end{cases} \quad h \in [0, \overset{m-m}{n-1}]$

θ_h	$\frac{2h+1}{m-m} \pi \quad (K > \emptyset)$	$\frac{2h}{m-m} \pi \quad (K < \emptyset)$
1 →	π	\emptyset
2 →	$\pi/2 \quad \quad -\pi/2$	$\emptyset \quad \quad \pi$
3 →	$\pi/3 \quad \quad \pi/3, \pi = -\pi/3$	$\emptyset \quad \quad 2/3 \pi \quad \quad -2/3 \pi$
4 →	$\pi/4 \quad \quad 3/4 \pi \quad \quad -3/4 \pi \quad \quad -\pi/4$	$\emptyset \quad \quad \pi/2 \quad \quad \pi \quad \quad -\pi/2$

5) CENTRO DEGLI ASINTOTI:

$c = \frac{\sum_{j=1}^m p_j - \sum_{i=1}^m z_i}{m - m}$ [POLI ⊕] [ZERI ⊖]



6) SIMMETRIA RISPETTO A ASSE Re

(non sono unice poli NON coniugati)

7) TRACCI DI RL/CAL su ASSE Re:

Sono tutti del RL tutti i tratti che lasciano l'orbita sull'asse Re un n° DISPARI di poli/zeri REALI.

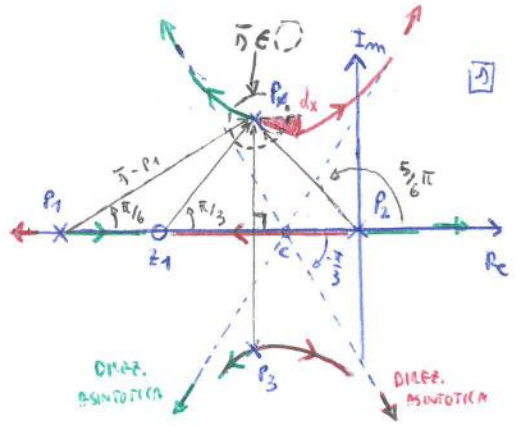
8) PUNTI DI DIRAMAZIONE:

Sono CANDIDATI a tutti di diramazione i punti di s t.c. $[d \frac{P}{d s} = \emptyset] \leftrightarrow [D'(s)N(s) - D(s)N'(s) = \emptyset]$

(non è detto che tutti ∈ RL)

$\left[\frac{dK}{ds} = \frac{d}{ds} \left(-\frac{1}{T(s)} \right) = \emptyset \right] \rightarrow \left[\frac{ds}{dK} \Big|_{s=\bar{s}} = \infty \right]$ (se è punto di diramazione) È UNA "SINGOLARE BRUSCA" DEL RL

9) ANGOLI DI PARTENZA ED ARRIVO AI POLI ED ZERI:



per $K > 0$ (RL) \rightarrow PER RCL è l'angolo complementare

↓ vogliamo l'angolo di P_0 :

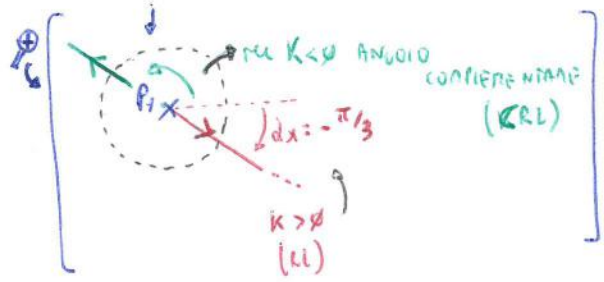
$$\angle \sigma - P_0 + \sum_{i=1}^3 \angle \sigma - P_i - \angle \sigma - Z_1 = (2h+1)\pi \leftarrow \text{(Eq. del RL)}$$

↓ CALCOLO RL su una $\pi \in \mathbb{C}$ vicina a P_0 ! \rightarrow PER QUESTO
 ↓ L'ANGOLO $\angle \sigma - P_0$ è quello che mi interessa! $\left\{ \begin{array}{l} \angle \sigma - x \\ \angle P_0 - x \end{array} \right\} \forall x \in \mathbb{C}$
 ↓ POSSO CALCOLO

$$\angle \sigma - P_0 + \sum_{i=1}^3 \angle \sigma - P_i - \angle \sigma - Z_1 = (2h+1)\pi$$

↓ chiamo $\angle \sigma - P_0 \triangleq dx \rightarrow$ IN GEN. $\left[dx = \sum_i \frac{P_0 - Z_i}{P_0 - Z_i} - \sum_j \frac{P_0 - P_j}{P_0 - P_j} + (2h+1)\pi \right]!$
 (TUTTI TRAVINE QUELLO DI dx) $\rightarrow P_j$

$h=0$ (NEL CASO)
 $dx = \frac{\pi}{3} - \frac{\pi}{6} - \frac{\pi}{2} - \frac{\pi}{6} + (2h+1)\pi = -\frac{\pi}{6}$



NOTA #1: Per i sistemi con NUTRI FISSI \rightarrow non vale RL
 \rightarrow note analogiche fra (Nyquist e Bode) \rightarrow NOTA 4112 3

NOTA #2: 3 poli in alta freq. (HF) non soltanto l'ordine che il loro contributo di fase è trascurabile \rightarrow li trascuro

↳ METODO DI ROUTH-HORWITZ:

$$P_n(s) = \sum_{n=0}^N P_n s^n$$

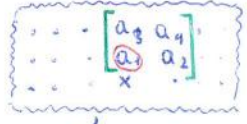
Summa de i termini della prima colonna non $\neq 0$ \rightarrow !

R-H	N. zeri	N. poli
s^N	Bulli: P_n dispari	Bulli: P_n pari
s^{N-1}	Bulli: P_n pari	Bulli: P_n dispari
s^{N-2}	COSTRUISCO I COEFF.	COSTRUISCO I COEFF.
...	(...)	(...)

(risultati da n maggiore) fino a 1
 VADO A 2 IN 2
 USO ESSEMPIO

radici $Re > 0$ di $P_n(s)$
 =
 # cambi di segno nella prima colonna

COME COSTRUISCO:



CAMBIO DI SEGNO! $x = \det \begin{bmatrix} a_3 & a_4 \\ a_1 & a_2 \end{bmatrix}$

SE "BECCO" DEI PUNTI "NUOVI" CI METTO UNO $\neq 0$ QUANDO FACIO IL det

Es: $P_n(s) = P_4 s^4 + P_3 s^3 + P_2 s^2 + P_1 s + P_0$

RH	
s^4	$P_4 \quad P_2 \quad P_0$
s^3	$P_3 \quad P_1$
s^2	$a_2 \quad a_0$
s^1	b_1
s^0	c_0

(a, b, c da calcolare)

↳ ROUTH - HURWITZ: TRATTARE GLI "ZERO"

esempio: $P_{cl}(s) = s^3 + 2s^2 + s + 2$

R-H		
s^3	1	1
s^2	2	2
s^1	1	$\left(\begin{array}{l} \text{il det } \begin{vmatrix} 1 & 1 \\ 2 & 2 \end{vmatrix} \text{ viene } \checkmark \\ \text{ma i metter una } \epsilon \checkmark \end{array} \right)$
s^0	$+2$	$\left(\begin{array}{l} \text{il det } \begin{vmatrix} 2 & 2 \\ \epsilon & 2 \end{vmatrix} = +2\epsilon \\ \epsilon \end{array} \right)$

↓
 $\emptyset(\epsilon)$ indica la presenza di una radice $\Im m \neq 0$
 ↳ \emptyset variazioni: 3 radici $Re \leq 0$ di segno
 ↳ 2 zeri complessi coniugate

↳ 1 riga tutta di zeri (s^1)
 ↓

(NETTO INSIERE: 1 polo $Re < 0$ $\Im m = 0$ e due compl. coniugati $Re < 0$)

esempio: $P_{cl}(s) = s^5 + 2s^4 + 24s^3 + 48s^2 + 25s + 50$

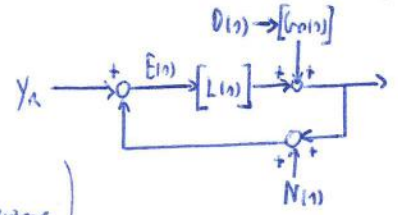
R-H			
s^5	1	24	25
s^4	2	48	50
s^3	\emptyset	\emptyset	$\left(\begin{array}{l} \text{RHA INFERA DI ZERO!} \\ \text{↳ INDICA UNA SINFETIA!} \\ \text{↳ può essere rispetto a:} \\ \text{- one } Re \rightarrow \text{radici compl. coniugate} \\ \text{- one } \Im m \end{array} \right)$
s^2	8	36	
s^1	24	50	
s^0	$79,3$		

PRENDI LA RIGA SOTTO:
 $P_A(s) = 2s^4 + 48s^2 + 50$
 $\frac{dP_A}{ds} = 8s^3 + 96$
 ↳ INSERISCI SOTTO (POLINOMIO AUSILIARIO)
 $\left(\frac{- (96 \cdot 2 - 48 \cdot 8)}{8} = 24 \right)$

↳ \emptyset variazioni → 5 radici $Re \leq 0$
 ↳ uno \emptyset in I colonna → 1 radice $\Im m = 0$
 ↳ una riga di \emptyset → simmetria $Re/\Im m$
 ↓
 (NETTO INSIERE: 1 polo $Re < 0$ $\Im m = 0$ e due poli compl. coniugati $Re < 0$)

7. PRECISIONE

Altri modo (PAR 2, p. 1) da:



$Y_2(s) = P(s)Y_1(s) + S(s)D_0(s)D(s) - P(s)N(s)$

(Superiormente non asint. stabile)
 ↳ Comportamento solo la resp. a regime.)

Studio Precisione ⇒ Studio $S(s)$

↳ es: con $y_1(t) = \text{sen}(\omega t) \Rightarrow e_{regime}(t) = |S(j\omega)| \text{sen}(\omega t + \angle S(j\omega))$
 ↳ deve essere piccolo

(vale solo per sys asint. stab.)
 $\Rightarrow |e_{regime}(t)| \leq |S(j\omega)|$
 (per ingressi sinusoidali)

$[P(s) + S(s) = 1]$ CONDIZ. STRUTTURALE

$P[S(s)] = 0 \Rightarrow \exists \omega \text{ t.c. } \forall \omega > \bar{\omega} |S(j\omega)| = 1$

↳ lento o tardi arriva a 1" → non può avere PRECISIONI su intervalli di frequenze relativamente ampi!

$\left[\begin{array}{l} \text{BANDA PASSANTE} \\ \text{DEL SYS REGIMAT.} \\ \omega \leq \omega \leq \omega_B \end{array} \right] \triangleq \left[\begin{array}{l} \text{Bande delle } \omega \\ \text{t.c. } |P(j\omega)| \approx 1 \\ \text{↳ } |S(j\omega)| \approx \emptyset \end{array} \right]$

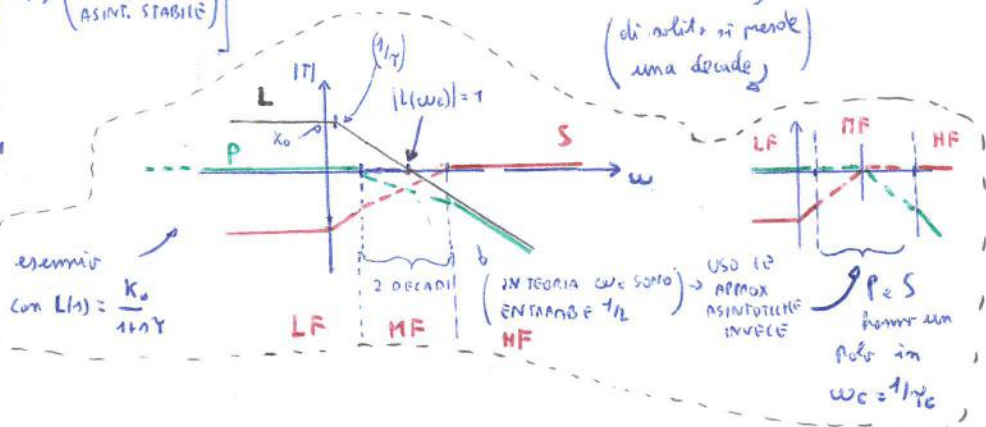
$E(s) = Y_1(s) - Y_2(s) = (1 - P(s))Y_1(s) - S(s)D_0(s)D(s) + P(s)N(s) = S(s)Y_1(s)$ → ($S(s)$ piccola ⇒ $E(s)$ piccolo)

NOTA: $e(t) = e_L(t) + e_{TRANS}(t) + e_{REGIME}(t)$

$\left\{ \begin{array}{l} \text{R. LIBERA} \\ \text{DIPENDE DA} \\ \text{C. INIZIALI} \\ \text{E POLI} \end{array} \right\} \rightarrow \phi$ (ne SYS ASINT. STABILE)
 $\left\{ \begin{array}{l} \text{R. TRANSIT.} \\ \text{DIPENDE DAL} \\ \text{NUM. DI ASP.} \\ \text{DEL SYSTEMA} \end{array} \right\}$

$|e_{regime}(t)| \ll |S(s\omega)| = \frac{1}{1+|L(s\omega)|} = \begin{cases} \frac{1}{|L(s\omega)|} & |L| \gg 1 \\ 1 & |L| \ll 1 \end{cases}$
 (di solito si prende una decade)

Percorso: $|P(s\omega)| = \begin{cases} 1 & |L| \gg 1 \\ |L(s\omega)| & |L| \ll 1 \end{cases}$
 (APPROX. MINUTUKA)



↳ TEORIA DELL'ERRORE PER SEGNALI POLINOMIALI NOTEVOLI:

SEGNALE DI TIPO "i" LA SUA TRASF. DI CARIC. FUNZ. DI TRASF. CONTIENE i POLI IN $D = \phi$

QUADRO
 STATICO: $K_S \triangleq \lim_{s \rightarrow 0} L(s) = \begin{cases} K_0 \leftrightarrow \text{non tipo } \phi \\ \infty \leftrightarrow \text{non tipo } i \geq 1 \end{cases}$
 DI VELOCITA': $K_V \triangleq \lim_{s \rightarrow 0} s L(s) = \begin{cases} \phi \leftrightarrow \text{non tipo } \phi \\ K_0 \leftrightarrow \text{non tipo } 1 \\ \infty \leftrightarrow \text{non tipo } i \geq 2 \end{cases}$
 DI ACCELERAZIONE: $K_A \triangleq \lim_{s \rightarrow 0} s^2 L(s) = \begin{cases} \phi \leftrightarrow \text{non tipo } \phi, 1 \\ K_0 \leftrightarrow \text{non tipo } 2 \\ \infty \leftrightarrow \text{non tipo } i \geq 3 \end{cases}$

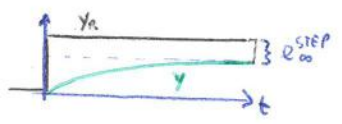
	K_S	K_V	K_A
ϕ	K_0	ϕ	ϕ
1	∞	K_0	ϕ
2	∞	∞	K_0

↳ SEGNALE DI TIPO 1: GRADINO

$e_{\infty}^{STEP} = \lim_{s \rightarrow 0} s \cdot E^{STEP}(s) = \lim_{s \rightarrow 0} s \cdot S(s) \cdot Y_R(s) = \lim_{s \rightarrow 0} s \cdot S(s) \cdot \frac{1}{s} = \lim_{s \rightarrow 0} s \cdot \frac{1}{1+L(s)} \cdot \frac{1}{s} = \frac{1}{1+K_0}$
 $\left\{ \begin{array}{l} \frac{1}{1+K_0} \leftrightarrow \text{SYS TIPO } \phi \\ \phi \leftrightarrow \text{SYS TIPO } i \geq 1 \end{array} \right.$

ERRORE STATICO

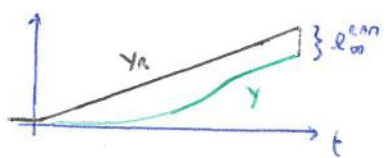
SYS ASTATICO $\leftrightarrow e_{\infty}^{STEP} = \phi \leftrightarrow \text{TIPO } \geq 1$ (in cui K_0 non entra in gioco, in questo caso, per garantire la precisione! $\rightarrow e$ NEGLO)



↳ SEGNALE DI TIPO 2: RAMP

$e_{\infty}^{RAN} = \lim_{s \rightarrow 0} s \cdot E^{RAN}(s) = \lim_{s \rightarrow 0} s \cdot S(s) \cdot \frac{1}{s^2} = \lim_{s \rightarrow 0} \frac{1}{1+sL(s)} = \frac{1}{K_V}$
 $\left\{ \begin{array}{l} \infty \leftrightarrow \text{SYS TIPO } \phi \\ 1/K_0 \leftrightarrow \text{SYS TIPO } 1 \\ \phi \leftrightarrow \text{SYS TIPO } i \geq 2 \end{array} \right.$

TH. VAL. FINALE NON RIGOROSO (PARADOM) \Rightarrow $\lim \exists$ limite solo se $y < y_R$ HANNO LA STESSA PENDENZA



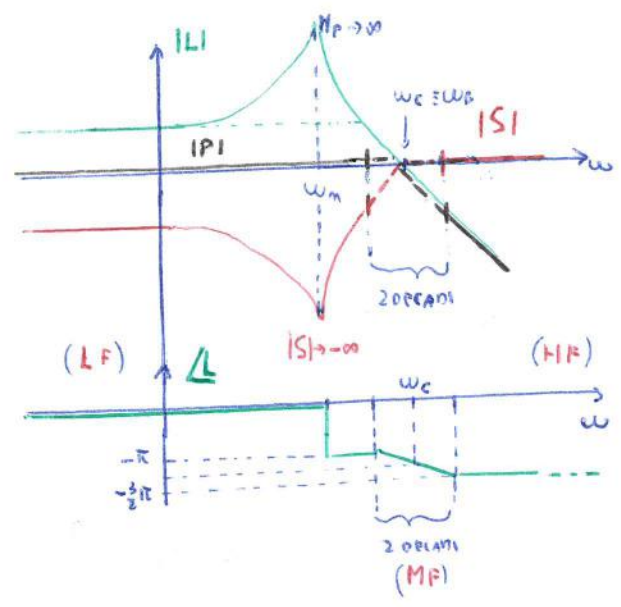
↳ SEGNALE DI TIPO 3: PARABOLA

$e_{\infty}^{PAR} = \lim_{s \rightarrow 0} s \cdot E^{PAR}(s) = \lim_{s \rightarrow 0} s \cdot S(s) \cdot \frac{1}{s^3} = \lim_{s \rightarrow 0} \frac{1}{s^2 + s^2 L(s)} = \frac{1}{K_A}$
 $\left\{ \begin{array}{l} \infty \leftrightarrow \text{SYS TIPO } \phi, 1 \\ 1/K_0 \leftrightarrow \text{SYS TIPO } 2 \\ \phi \leftrightarrow \text{SYS TIPO } i \geq 3 \end{array} \right.$

		SISTEMI			
	TIPO	0	1	2	3
SEGNALI	1	$1/(1+K_0)$	ϕ	∞	ϕ
	2	∞	$1/K_0$	ϕ	∞
	3	∞	∞	$1/K_0$	ϕ

Non si può avere errore = 0 $\forall \omega$ \rightarrow solo per certe ω \rightarrow CONDIZIONE ANONIMA: $|L_{asint}(H)| \leq |S(j\omega)|$
 \rightarrow errore nullo solo alle FREQ. DISCRETE (ca. $|S(j\omega)| = 0$), ricorrendo in determinati intervalli di FREQ.

$|S(j\omega)| = 0 \Leftrightarrow |L(j\omega)| = \infty \rightarrow$ FILLO DI RISONANZA \rightarrow PAI CONPL. COMPENSAZI IN OL \rightarrow ma si vuole -it di \rightarrow VEDI I COMPENSAZIONI
 fase \rightarrow riduce instabilità



COMPROMESSO:
 $\omega_B \uparrow \Rightarrow$ Precisione \uparrow
 ma $\omega_B \uparrow \Rightarrow$ non più Robustezza!
 $\omega_B \downarrow \Rightarrow$ Noise \downarrow

(HF dalla zona in cui |P| diventa $< 1/10$)

USO DEI COMPENSAZIONI:

Servono a tenere su le fasi \rightarrow POLO SX \rightarrow NO
 \rightarrow ZERO SX \rightarrow SI \rightarrow zero a fase minima che riattori in un'impedenza delle frequenze che "mi danno fastidio"

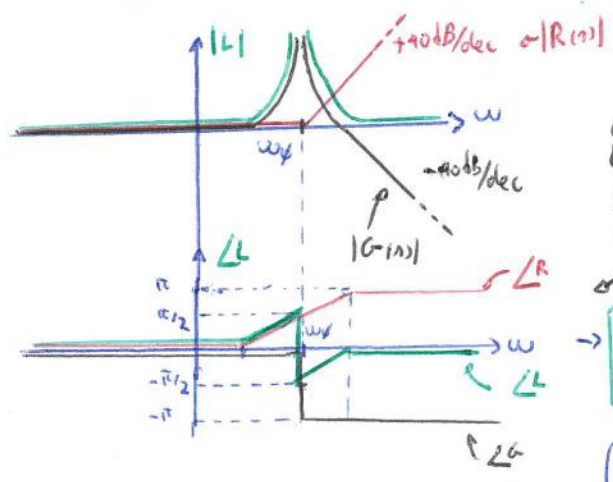
$R(s) = (s + \omega_z)^2$

per la fisica realistica mettere dei poli non annullabili in LF

NON FARLI ANTIMISONANTI CHE CANCELLINO I POLI RISONANTI \rightarrow IL PICCO DI |L| LO VULIANO DANTEMENTE

es: $\left[\frac{1}{(s + \omega_z)^2} \right] \rightarrow [G(s) = \frac{1}{s^2 + \omega_z^2}] \Rightarrow |L(s)| = \frac{(s + \omega_z)^2}{s^2 + \omega_z^2}$ \rightarrow è un filtro ai NOTCHI

zero in $-\omega_z$
 molteplicità 2
 \rightarrow DEVI COMPENSARE UNA CADUTA DI -180°



IN REALTA' LA FASE $\angle L$ IN ω_z è 0

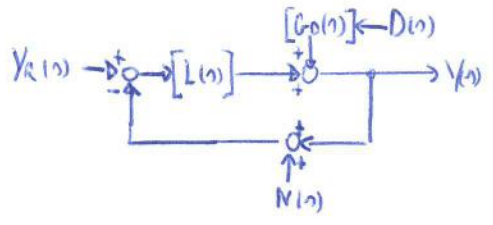
\rightarrow almeno ho un MF adeguato!
 \downarrow
 (CONDIZ. ROBUSTEZZA MF) $> \pi/6$

Nota: Per stimare ξ COEFF. DI SMORZAMENTO in CL: $\xi \approx \frac{MF}{100}$

8. REIEZIONE DISTURBI / RUNONE

la precisione studia $S(s)$

Studio l'effetto di $D(s)$ nell'uscita:



$$Y(s) = P(s) Y_r(s) + S(s) G_0(s) D(s) - P(s) N(s)$$

a regime lo vogliamo piccolo

$P(s)$ negativo la banda rimonta del sys

Per $G_0(s)$ (FUORI DALL'ANGOLO!!!) i poli $Re > 0$ devono essere presenti in $L(s)$, così da avere delle semplificazioni strutturali!
 ↓
 se no poli INSTABILI non CONTROLLABILI!



prendiamo una componente armonica del disturbo:

$$d(t) = d_0 \sin(\omega_0 t) \Rightarrow D(s) = \frac{\omega_0^2 d_0}{s^2 + \omega_0^2}$$

$$y_{D, regime}(t) = |S(j\omega_0) H(j\omega_0)| \sin(\omega_0 t + \phi(\omega_0))$$

[SOLO SE ANGOLO ASINT. STABILE!]

$$\phi(\omega_0) = \angle S(j\omega_0) + \angle G_0(j\omega_0)$$

$$|y_{D, regime}(t)| \leq |S(j\omega_0) H(j\omega_0)|$$

è un diagramma in frequenza che mi dice dove il disturbo è attenuato e dove no.

G_0 dipende dall'impianto
 ↳ Bisogna lavorare su $S(s)$!

(ma il modulo è piccolo ma y_0 è attenuato a regime)

DISTURBO EQUIVIVAMENTE := $D_{eq}(s) \triangleq D(s) \cdot G_0(s)$

è D_{eq} !
 è UACE solo se il ∇_{sys} è ASINT. STABILE!

↳ REIEZIONE COMPLETA DI TIPI DI SEGNALI?

$D_{eq}(s)$ DI TIPO 1°

$$y_{D, 0} = 0 \Leftrightarrow S(s) \text{ ha almeno uno zero in } s=0 \Leftrightarrow L(s) \text{ è di TIPO } i \geq 1$$

$$S(s) = \frac{1}{1+L(s)}$$

GENERALIZED: REIEZIONE COMPLETA di $D_{eq}(s)$ di TIPO "i" \Leftrightarrow TIPO "j" $\geq i$ ($\forall i, j$)

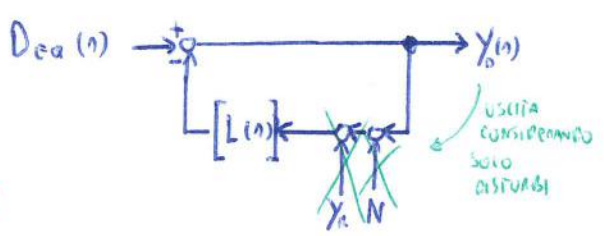
uscita CONSIDERANDO SOLO I DISTURBI

$$y_{D, 0} = \lim_{s \rightarrow 0} s Y_0(s) = \lim_{s \rightarrow 0} s \cdot \frac{1}{1+L(s)} D_{eq}(s)$$

$L(s)$ è la f. di transf. di TUTTI I BLOCCHI CHE CARICANO MICA OPENING DI INIEZIONE DEL DISTURBO $\Rightarrow |L(s)| \uparrow \Rightarrow y_{D, 0} \downarrow$

uscita CONSIDERANDO SOLO I DISTURBI

Sinfatti, se riuiniamo i blocchi considerando solo i disturbi (Y_0) \rightarrow ($Y_0 = N = 0$) abbiamo:



idea per Runone?

NOTA:
 TRADEOFF PRECISIONE - DISTURBI:
 - $|P(s)|$ banda larga
 ↳ buona gestione
 ↳ entro un sacco di disturbi!!!

Per Runone: $n(t) = d_0 \sin(\omega_0 t)$ $y_{N, regime}(t) = |P(j\omega_0)| \sin(\omega_0 t + \phi(\omega_0))$
 ↳ $|y_{N, regime}(t)| \leq |P(j\omega_0)|$ → QUESTA CONDIZIONE VACE SE $\omega > \omega_0$ (rumore fuori banda)

errore di regime $\left\{ \begin{array}{l} e(t) \text{ a regime } (e_{\infty}) \\ \text{regolatore} \end{array} \right. : e_{\infty} = \lim_{t \rightarrow \infty} e(t) = \lim_{s \rightarrow 0} s E(s) \leftarrow \left(\frac{1}{1+L(s)} Y_R(s) \right)$

effetto del disturbo $\left\{ \begin{array}{l} y_D(t) \text{ a regime } (y_{D,\infty}) \\ \text{sull'uscita} \end{array} \right. : y_{D,\infty} = \lim_{t \rightarrow \infty} y_D(t) = \lim_{s \rightarrow 0} Y_D(s) \left(\frac{1}{1+L(s)} D_{\text{est}}(s) \right)$

valore dell'uscita $\left\{ \begin{array}{l} y(t) \text{ a regime } (y_{\infty}) \\ \text{in risposta a } y(t) \end{array} \right. : y_{\infty} = \lim_{t \rightarrow \infty} y(t) = \lim_{s \rightarrow 0} Y(s)$

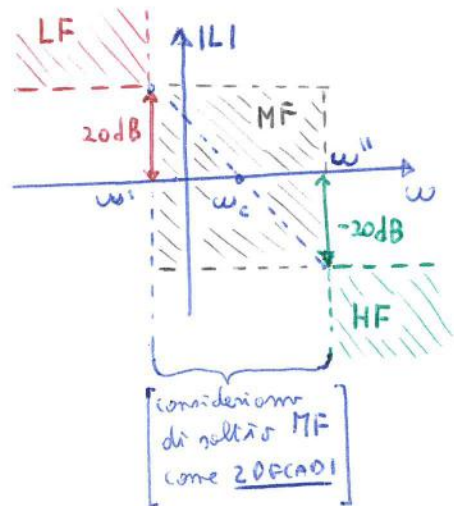
9. ANALISI DELLE PRESTAZIONI IN C.L. (PER SYS A FASE MINIMA)

Basta che gli zeri a fase non minima ($\text{Re} > 0$) cadano fuori della banda, per essere non considerati
 Se non vi è in LF né raggiunge il P.M. (Phase Margin)

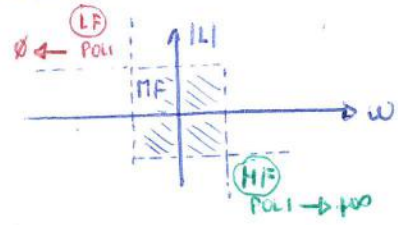
Se non ho specifiche più stringenti: approssimo così:

$$|S(j\omega)| = \begin{cases} 1/|L(j\omega)| & \text{per } |L(j\omega)| \gg 1 \\ 1 & \text{per } |L(j\omega)| \ll 1 \end{cases}$$

$\xrightarrow{\text{LF}} |L(j\omega)| > 10 = 20\text{dB}$
 $\xrightarrow{\text{HF}} |L(j\omega)| < 1/10 = -20\text{dB}$
 $\xrightarrow{\text{MF}} -20\text{dB} < |L(j\omega)| < 20\text{dB}$



Approssimo anche L:



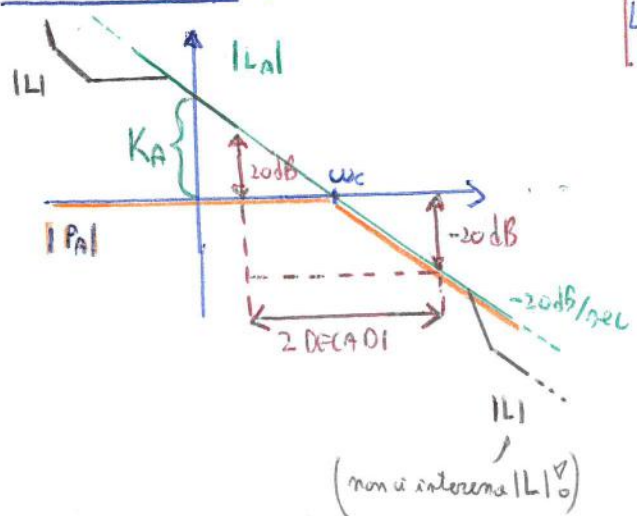
$\Rightarrow L(s)$ diventa

$$L_A = \frac{1+s\tau_z}{1+s\tau_p}$$

$\left(\begin{array}{l} \text{D: SOLO UN SOLO} \\ \text{POLO E/O UN} \\ \text{SOLO ZERO IN} \\ \text{MF} \end{array} \right)$

τ_z è la differenza tra zeri e poli in LF, e la PENDENZA con cui L_A ed L entrano in MF

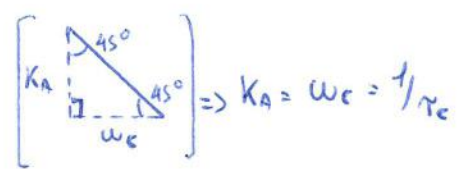
CASO TIPICO #1:



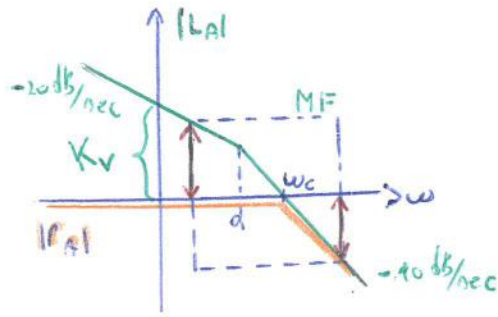
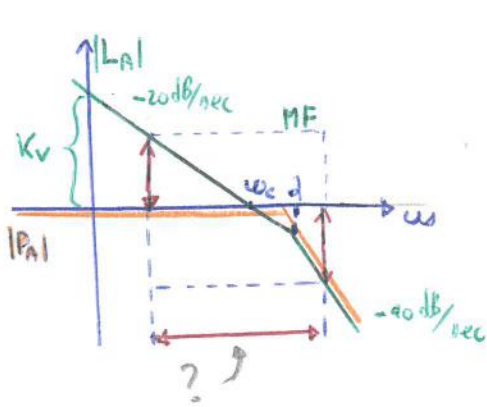
$$L_A(s) = K_A \cdot \frac{1}{s}$$

$$P_A(s) = \frac{L_A(s)}{1+L(s)} = \frac{K_A/s}{1+K_A/s} = \frac{1}{1+s\tau_e} \quad (\tau_e = 1/K_A)$$

K_A è il GUADAGNO DI VELOCITÀ
 \hookrightarrow se $\omega_c < 1 \Rightarrow K_A \text{ dB} < 0 \Rightarrow K_A < 1$



$$P_A(s) \approx P(s), \forall \omega \in \text{MF}$$



$$L_A(s) = K_v \frac{1}{s(s+d)}$$

• se $d \rightarrow \omega_c$ allora PM è ASSOTIMBRATA

• se $d = \omega_c$ allora PM = $\pi/4$

• se $d = \omega_c - 1/2 \text{ decade}$ → PM = $\pi/6$ (limite di robustezza!)

(“a sc di ω_c di mezza decade”) → $d = \omega_c/5$

$$P_A(s) = \frac{L_A(s)}{1+L_A(s)} = \frac{K}{s^2 + ds + K} \stackrel{\omega_m}{=} \frac{\omega_m^2}{s^2 + 2\xi\omega_m s + \omega_m^2}$$

$$K = \omega_m^2 \quad \frac{1}{T_p} = 2\xi\omega_m = d \quad \rightarrow \quad \left[L_A(s) = \frac{\omega_m^2}{s(s+2\xi\omega_m)} \right]$$

Se $d > \omega_c$ allora $\xi > 1/2$ (niente tre colonne della tabella)

Se $0,4 < \xi < 1$ il picco di risonanza è transcurabile

ω_c	$1/T_p = d$	ξ	ω_m
K_v ①	$4\omega_c$ ③	1	$2\omega_c = 2K_v$
K_v	$2\omega_c$	$\sqrt{2}/2$	$\sqrt{2}\omega_c = \sqrt{2}K_v$
K_v	ω_c	1/2	$\omega_c = K_v$
$< K_v$ ②	$0,64\omega_c$	0,4	$0,8 K_v$

super
sottosaturati

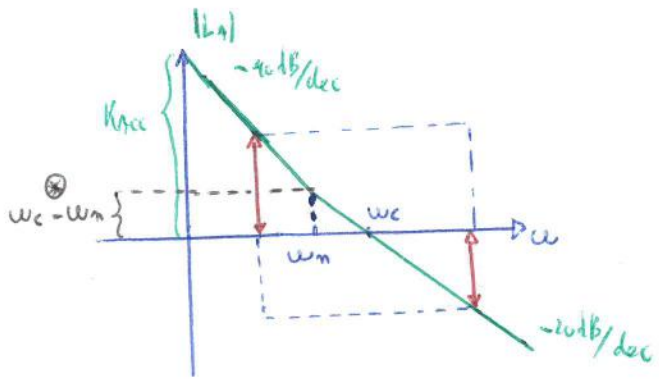
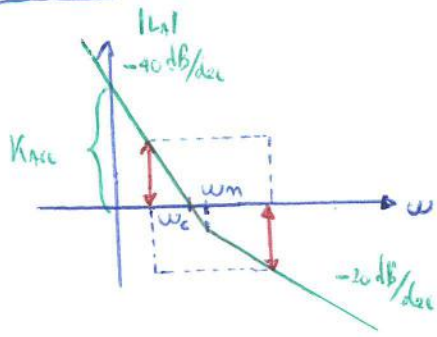
$$\omega_m = \frac{1}{2} \left[\log \frac{1}{T_p} + \log K_v \right] \rightarrow \text{è il punto medio tra } 1/K_v \text{ e } 1/T_p = d!$$

↳ in queste condizioni (sottosaturato o non soffero) → $\omega_m \approx K_v$

① → $K_v \frac{1}{\omega_c} \Rightarrow$ finché $d > \omega_c$, allora $K_v \approx \omega_c$, poi non più ③

③ → Se $d > 4\omega_c$ ovvero in CL POLI DOMINANTI REALI, Se $d > 10\omega_c \rightarrow$ polo(-d) trascurabile

● CASO TIPICO #3:



$$L_A = K \frac{s+z_p}{s^2}$$

$$P_A = \frac{L_A}{L_A+1} = (\dots) = \frac{z_p K (1 + j/\omega_p)}{s^2 + Ks + z_p K}$$

$[K_{acc} \triangleq z_0 K \triangleq \omega_m^2]$ è il GUADAGNO DI ACCELERAZIONE

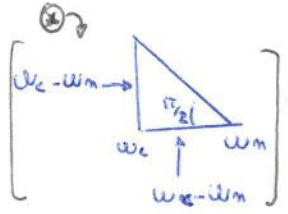


$$\Rightarrow \omega_m = K_{acc} / 2 = \frac{z_0 K}{2}$$

Esistono $z_0 = \frac{\omega_m^2}{K} = \frac{\omega_m}{2\xi}$

$$\Rightarrow \begin{cases} z_0 \uparrow \Rightarrow \xi \downarrow \\ z_0 \downarrow \Rightarrow \xi \uparrow \end{cases}$$

→ dallo smorzamento dipende quanto sono vicini all'origine gli zeri



→ $\omega_c - \omega_m$ lo trova "con il righello"

$$z_0 \bar{z} < \omega_m \text{ quando } \xi \geq 1/2$$

$$\downarrow$$

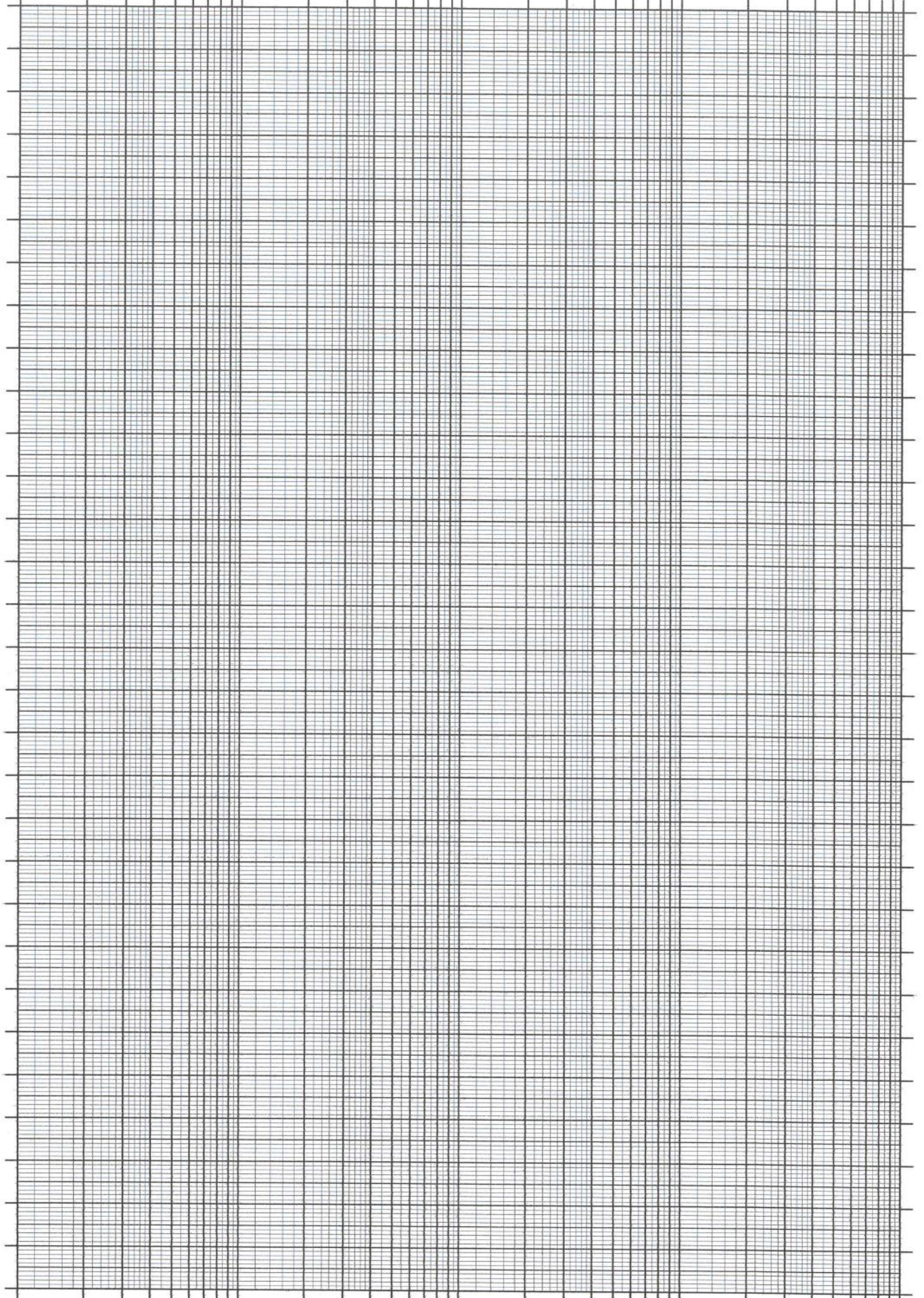
$$\omega_m = z_0 \text{ nel } \xi = 1/2 \Rightarrow |M| = \pi/4$$

ω_c	z_p	ξ	ω_m
$> \sqrt{K_{acc}}$	$\omega_m/2$	1	$\sqrt{K_{acc}}$
$> \sqrt{K_{acc}}$	$\frac{\sqrt{2}}{2} \omega_m$	$\sqrt{2}/2$	$\sqrt{K_{acc}}$
$\sqrt{K_{acc}}$	ω_m	1/2	$\sqrt{K_{acc}}$
$\sqrt{K_{acc}}$	$1,41 \omega_m$	0,4	$\sqrt{K_{acc}}$

→ Sys CRITICAMENTE SMORZATI

→ Sys RADICALMENTE SMORZATI

1 2 3 4 5 6 7 8 9 1 2 3 4 5 6 7 8 9 1 2 3 4 5 6 7 8 9 2 3 4 5 6 7 8 9



1 2 3 4 5 6 7 8 9 1 2 3 4 5 6 7 8 9 1 2 3 4 5 6 7 8 9 2 3 4 5 6 7 8 9

Scala Logaritmica

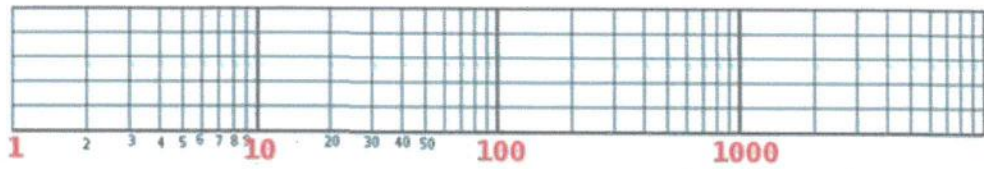


Diagramma del modulo

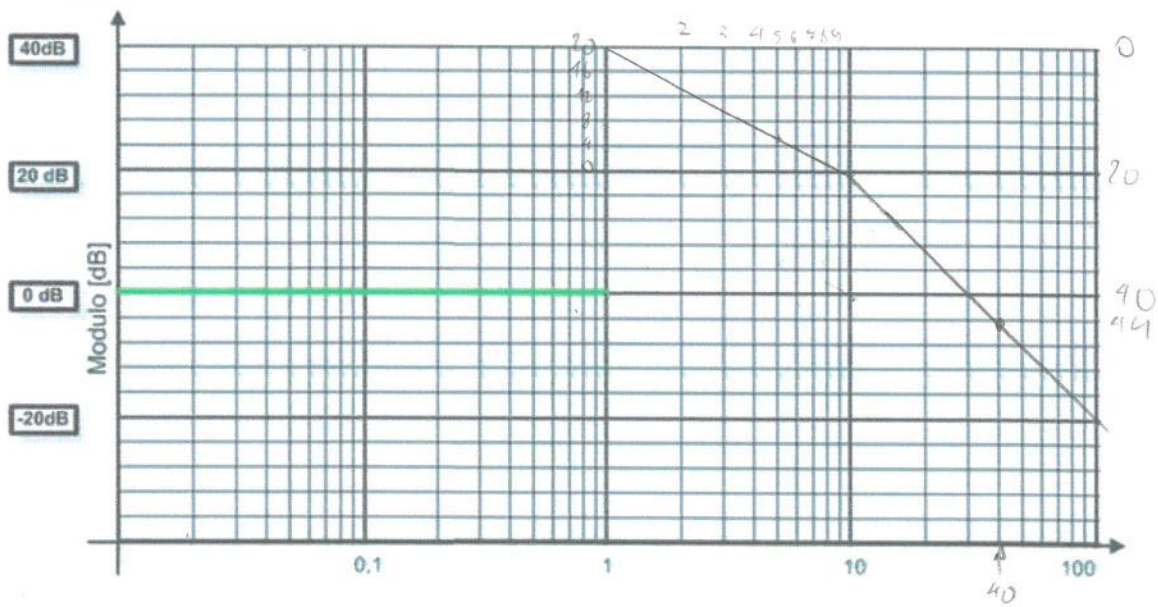
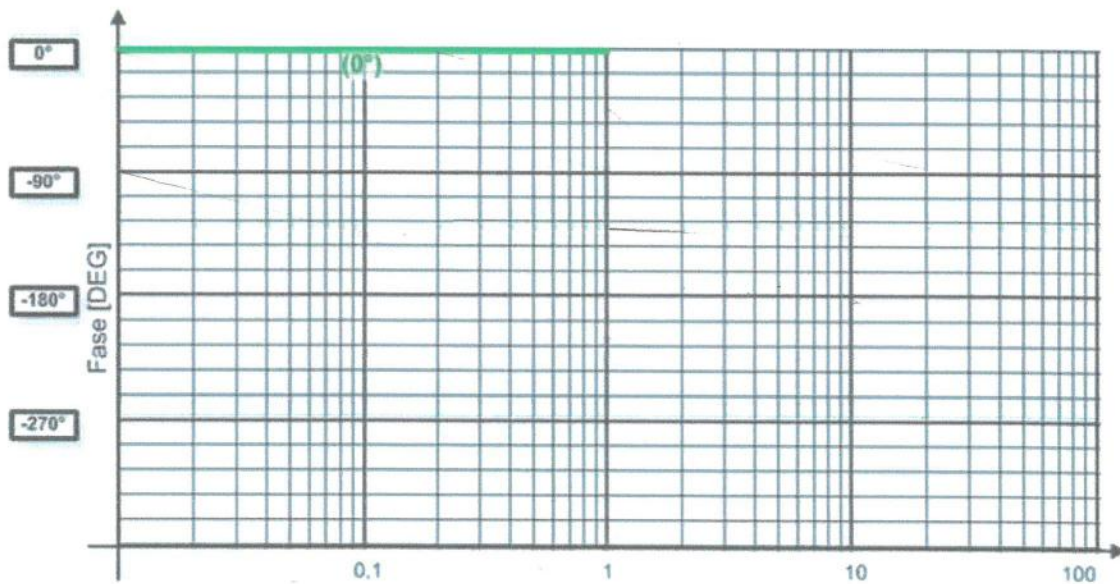


Diagramma della fase:



Metodo di Cramer

$$A \underline{x} = B$$

\uparrow matrice \uparrow vettore colonna

$$x_i = \frac{\det(A_i)}{\det(A)}$$

A_i è la matrice A
a cui è stata sostituita
la i -esima colonna
con il vettore colonna B